



(19) Europäisches Patentamt  
European Patent Office  
Offic européen des brevets



(11) EP 0 714 988 A2

(12)

## EUROPÄISCHE PATENTANMELDUNG

(43) Veröffentlichungstag:  
05.06.1996 Patentblatt 1996/23

(51) Int Cl. 6: C12Q 1/68, C07H 21/04,  
C12P 19/34, C12N 15/85,  
C07K 14/00, C12Q 1/70

(21) Anmeldenummer: 95890172.0

(22) Anmeldetag: 26.09.1995

(84) Benannte Vertragsstaaten:  
AT BE CH DE DK ES FR GB IE IT LI NL SE

- Himmelsbach, Michele, Dr.  
A-1100 Wien (AT)
- Kohl, Johann, Dr.  
A-1160 Wien (AT)
- Dorner, Friedrich, Prof. Dr.  
A-1230 Wien (AT)

(30) Priorität: 26.09.1994 AT 1831/94  
02.12.1994 AT 2245/94

(74) Vertreter: Weinzinger, Arnulf, Dipl.-Ing. et al  
Patentanwälte  
Sonn, Pawløy, Weinzinger & Wolfram  
Riemergasse 14  
A-1010 Wien (AT)

(71) Anmelder: IMMUNO Aktiengesellschaft  
A-1221 Wien (AT)

(72) Erfinder:  

- Falkner, Falko-Günter, Dr.  
A-2304 Orth/Donau (AT)
- Hämmerle, Thomas, Dr.  
A-2304 Orth/Donau (AT)

### (54) Verfahren zur Quantifizierung von Nukleinsäuren

(57) Beschrieben wird ein Verfahren zur Quantifizierung von Nukleinsäuren in einer Probe unter Anwendung von Nukleinsäure-Amplifizierung, wobei der Probe vor dem Amplifizierungsschritt eine gegebene Menge eines bekannten Nukleinsäuremoleküls als interner Standard zugegeben wird, welches Standard-Nukleinsäuremolekül sich von der zu quantifizierenden Nukleinsäure zumindest in einem detektierbaren Merkmal unterscheidet; zur Erzielung einer hohen Genauigkeit und guten Reproduzierbarkeit wird vorgesehen, daß der Probe vor der Nukleinsäure-Amplifizierung bekannte Mengen von mindestens zwei sich zumindest in einem detektierbaren Merkmal voneinander und von der zu quantifizierenden Nukleinsäure unterscheidenden bekannten Nukleinsäuremolekülen als interner Standard zugegeben werden, die erhaltenen Mengen an amplifizierter Proben- und Standard-Nukleinsäure bestimmt werden und aus den erhaltenen Mengen die ursprünglich in der Probe vorhandene Menge an zu quantifizierender Nukleinsäure bestimmt wird.

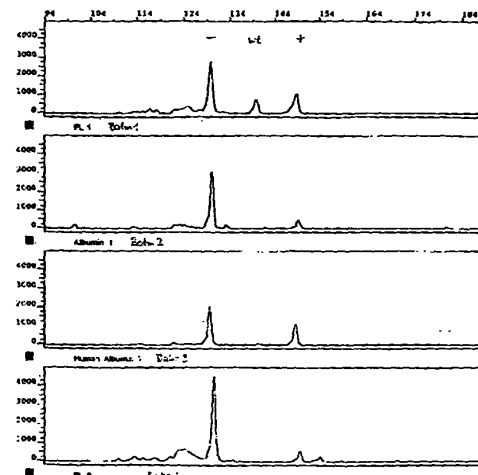


Fig. 3-A

**Beschreibung**

Die Erfindung betrifft ein Verfahren zur Quantifizierung von Nukleinsäuren in einer Probe unter Anwendung von Nukleinsäure-Amplifizierung, wobei der Probe vor dem Amplifizierungsschritt eine gegebene Menge eines bekannten Nukleinsäuremoleküls als interner Standard zugegeben wird, welches Standard-Nukleinsäuremolekül sich von der zu quantifizierenden Nukleinsäure zumindest in einem detektierbaren Merkmal unterscheidet

Für die Diagnose von verschiedenen viralen Erkrankungen gibt es zur Zeit nur sehr unzuverlässige Detektionsmethoden. Eine Virusinfektion kann in einem frühen Stadium der Erkrankung oft nicht festgestellt werden, da die zur Verfügung stehenden ELISA-Methoden die wenigen im Blut zirkulierenden Virusproteine nicht detektieren können. Allerdings wäre es für Erfolge in der Therapie von unschätzbarem Wert, Infektionen möglichst früh zu erkennen. Weiters gilt für virale Infektionen auch, daß es im Verlaufe der Krankheit oder durch den Einfluß einer Therapie zu Schwankungen der Viruskonzentration im Blut kommt. Dabei kann die Anzahl der Viruspartikel so stark abnehmen, daß die herkömmlichen Methoden sich als zu wenig sensitiv erweisen. Falsch negative Ergebnisse durch ELISA-Test lassen in solchen Fällen den Krankheitsverlauf in einem falschen Bild erscheinen.

Ein anderer Aspekt bei der Detektion von Nukleinsäuren ist die Qualitätskontrolle von biotechnologisch hergestellten Produkten. Einerseits müssen Präparationen von immunogenen Virusproteinen, die aus infektiösen Viren gewonnen werden und als Impfstoffe eingesetzt werden sollen, auf ihren Gehalt an kontaminierender viraler Nukleinsäure hin überprüft werden. Andererseits werden rekombinante Produkte, die mit einem viralen Expressionssystem hergestellt wurden, auf kontaminierende Nukleinsäuren überprüft, die vom Expressionssystem stammen können. Die hier erlaubten Grenzwerte an kontaminierender Nukleinsäure sind von der Welt-Gesundheits-Organisation mit 100 pg pro Dosis, und von der U.S. Food and Drug Administration mit 10 pg pro Dosis festgelegt.

Die Entwicklung in der PCR-Technologie hat es ermöglicht, die Nachweisgrenze zur Detektion von Nukleinsäuren drastisch zu senken. Allerdings kämpft man vor allem bei niedrigen Nukleinsäurekonzentrationen nach wie vor mit großen Problemen in der Reproduzierbarkeit der Resultate. Das liegt einerseits an der noch nicht ausgereiften Technik, andererseits sind es oft nur wenige Kopien von Nukleinsäuren, die nachgewiesen werden sollen. Bei quantitativen Bestimmungen in diesem niedrigen Konzentrationsbereich wirken sich Fehler in der Analyse natürlich besonders drastisch aus.

Es ist dem Fachmann bestens bekannt, daß die Effizienz der PCR-Reaktion oftmals von Reaktionsgefäß zu Reaktionsgefäß unterschiedlich sein kann. Dieser Effizienzunterschied kann Unterschiede in den Ergebnissen von bis zu  $10^5$  ergeben. Die Reproduzierbarkeit der mit den bekannten Methoden erhaltenen Quantifizierungsdaten ist daher immer noch nicht ausreichend.

Um die Reproduzierbarkeit der PCR-Reaktionen zu verbessern, wurde von Gilliland (PNAS 87:2725 (1990)) eine kompetitive PCR-Methode entwickelt. Zur Bestimmung von DNA-Mengen wird eine Verdünnungsreihe eines internen Standards verwendet, die gleichzeitig mit der Probe amplifiziert wird. Die PCR-Reaktion wird bis zur Sättigung durchgeführt. Dies erlaubt auch die Detektion der PCR-Produkte mittels Ethidiumbromidfärbung. Die PCR-Produkte werden anschließend auf einem Gel aufgetrennt, die Kopienzahl der Probe mit der Kopienzahl der Standard-Verdünnungsreihe verglichen und so die Konzentration der Probe abgeschätzt. Diese Konzentrationsabschätzung ist dann exakt, wenn die Konzentration des Standards und der Probe etwa im Verhältnis 1:1 in einem Reaktionsgefäß amplifiziert wurden. Dies wiederum impliziert, daß die Bestimmung der DNA-Menge umso genauer erfolgt, je mehr Standardverdünnungen verwendet werden.

Eine Methode zur Quantifizierung von RNA wurde von Wang et al. (PNAS 86 (1989), 9717) vorgeschlagen. Diese PCR-Reaktion wird in der exponentiellen Phase gestoppt. Die Autoren schaffen sich durch Amplifikation unterschiedlicher Standardkonzentrationen eine Eichkurve. Da in der exponentiellen Reaktionsphase die Anzahl der PCR-Produkte direkt proportional zur Anzahl der PCR-Zyklen und zur Konzentration der RNA steigt, ist diese Eichkurve eine Gerade, in der man schließlich die Konzentration einer amplifizierten Probe ablesen kann. Ein Nachteil dieser Methode ist, daß die Endkonzentration der PCR-Produkte relativ gering ist, sodaß man für die Detektion empfindliche Nachweismethoden anwenden muß. Wang et al. benutzen radioaktiv markierte Nukleotide.

Gemäß der WO 93/23573 kann durch kompetitive PCR die Konzentration viraler RNA im Bereich von  $10^2$  bis  $10^8$  Kopien bestimmt werden. Die Reproduzierbarkeit dieser Methode wird bei Mehrfachbestimmungen von HIV-1 mit einem Variationskoeffizienten von  $0,26 \pm 0,15$  angegeben. Dabei werden die Bestimmungen umso genauer, je näher das Konzentrationsverhältnis von Probe zu Standard 1:1 liegt. Dabei ist zu berücksichtigen, daß bei dieser Methode die Standard-RNA erst nach der Probenaufbereitung zugegeben wird. Bei der Extraktion der Probe können aber bis zu 50 % der RNA verloren gehen. So wird schließlich die ursprünglich in der Probe enthaltene RNA-Menge auf den erst nach der Extraktion zugegebenen Standard bezogen. Dadurch wird lediglich die unterste Grenze der möglichen Kopienanzahl pro Probe bestimmt. Die durch die Extraktion verloren gegangenen Anteile können nicht berücksichtigt werden.

In der WO 94/20640 wird ebenfalls eine kompetitive RT-PCR-Methode beschrieben, von der behauptet wird, daß damit 100 Kopien des HIV-Genoms im Plasma von HIV-infizierten Patienten festgestellt werden kann. In Bereichen

Nukleinsäuren quantifiziert werden sollen, wird, um den Forderungen der WHO und der FDA Genüge zu tun, die Menge an Nukleinsäure in pg/ml angegeben. Dazu kommt erfahrungsgemäß folgende Formel zum Einsatz:

$$m_{\text{Probe}} = A_{\text{S}} / A_{\text{st}} \times N_{\text{st}} \times F1 \times D \times F2$$

worin

$A_{\text{S}}$  = die Peakfläche des PCR-Produkts der Probe,  
 $A_{\text{st}}$  = die Peakfläche des PCR-Produkts des Standards,

$N_{\text{st}}$  = die Kopienanzahl des Standard-Plasmids,

$F1$  = das Verhältnis des Einheitsvolumens zum extrahierten Volumen,

$D$  = der Verdünnungsfaktor der Probe (falls notwendig) und

$F2$  = die Masse eines viralen Moleküls in pg (Molekulargewicht der viralen DNA/Avogadro-Zahl), ist.

Da nach dem erfahrungsgemäßen Verfahren mindestens zwei Standards in unterschiedlichen Konzentrationen eingesetzt werden, erhält man nach der oben beschriebenen Berechnung mindestens zwei Werte für die Konzentration der Probe, aus denen man schließlich den Mittelwert berechnet. Im Routinebetrieb werden von jeder Probe in der Regel zwei Ansätze mit mindestens zwei Standards analysiert, wodurch schließlich ein Mittelwert aus vier Werten für die Konzentration der Probe gebildet werden kann.

Das erfahrungsgemäße Verfahren zeichnet sich durch eine besonders hohe Reproduzierbarkeit aus. Die Standardabweichung, die bei Mehrfachbestimmungen erhalten wird, beträgt maximal 15 %, im allgemeinen aber meist unter 10 %, selbst wenn die Kopienzahl im niedrigen Konzentrationsbereich von  $10^2$  liegt. Diese überaus geringen Standardabweichungen sind vor allem deswegen äußerst überraschend, da die jeweiligen Proben bei Mehrfachbestimmungen gemeinsam mit dem Standard auch jedesmal separat aufbereitet werden, d.h., daß auch Fehler in der Handhabung und Effizienzunterschiede in der Extraktion der Probe und der PCR-Reaktion an sich in diese Standardabweichungen eingehen.

Die in den WO 93/23573 und WO 94/20640 beschriebenen Standardabweichungen von  $0,26 \pm 0,15$  bzw. von 22 % bzw. 15 % wurden erhalten, indem die Probe nach der Aufbereitung in verschiedene Teile geteilt wird und diese Teile für die Bestimmung der Reproduzierbarkeit herangezogen werden. Dadurch gehen Effizienzunterschiede, die durch die Probenextraktion bzw. die RT-PCR auftreten können, nicht in die Bestimmung der Standardabweichung ein und es ergibt sich zwangsläufig eine bessere, wenn auch verfälschte Reproduzierbarkeit.

Beeinflußt wird die Effizienz der PCR-Reaktion zum Beispiel von der Art des zu amplifizierenden Nukleinsäure-Moleküls. Wird die erfahrungsgemäße Methode zur Bestimmung von RNA-Viren herangezogen, so kämpft man mit dem allgemein bekannten Problem, daß die reverse Transkription unvollständig ist und lediglich wenige Prozent der vorhandenen RNA auch wirklich transkribiert werden. Weiters hat sich gezeigt, daß die Effizienz der Amplifikation für den "+"- bzw. "-"-Standard in den einzelnen Bestimmungen differieren kann, im Mittel aber gleich ist. Dadurch kann es zu Schwankungen in den zu bestimmenden Konzentrationen kommen.

Gemäß einer bevorzugten Ausführungsform der Erfindung werden daher zur Vergrößerung der erhaltenen Information unterschiedliche Mengen der mindestens zwei Standard-Nukleinsäuren der Probe vor der Amplifikierung zugegeben werden.

Um weitere Ungenauigkeit in der Konzentrationsbestimmung der Probe auszuschließen, werden daher im Routineverfahren zwei Aliquote jeder Probe bestimmt, bei denen jeweils mindestens zwei Standards mitamplifiziert werden. So erhält man vier Meßwerte pro Probe, aus denen man sich dann einen Mittelwert errechnen kann. In den Beispielen ist die Genauigkeit und Reproduzierbarkeit der Methode gut demonstriert. Es wird auch gezeigt, daß die Methode über einen großen Konzentrationsbereich reproduzierbare Ergebnisse liefert.

Gemäß einer bevorzugten Ausführungsform des erfahrungsgemäßen Verfahrens kommen zwei Standard-Nukleinsäuren zum Einsatz, welche eine gegenüber der zu quantifizierenden Nukleinsäure unterschiedliche Länge aufweisen, vorzugsweise eine Standard-Nukleinsäuresequenz, welche kürzer, und eine Standard-Nukleinsäuresequenz, welche länger ist als die zu quantifizierende Nukleinsäure. Ein besonders bevorzugter Längenunterschied liegt zwischen 1 % und 20 %.

Es hat sich für die erfahrungsgemäße Methode von Vorteil erwiesen, die Nukleinsäure der internen Standards in linearisierter Form der PCR-Reaktion zuzusetzen. Dadurch werden weitere Unterschiede in der Effizienz der Reaktion ausgeglichen, die auf die unterschiedliche Form der zu amplifizierenden Nukleinsäure zurückzuführen sind.

Wichtige Kriterien bei der Quantifizierung von Nukleinsäuren sind - wie erwähnt - die Sensitivität und die Reproduzierbarkeit. Mit dem erfahrungsgemäßen Verfahren können Nukleinsäure-Mengen im Bereich von 1 bis 500 Kopien wesentlich präziser und reproduzierbarer als mit den im Stand der Technik beschriebenen Methoden bestimmt werden. Damit ist aber keineswegs die Reproduzierbarkeitsgrenze der Methode erreicht.

Das Verwendungsspektrum des erfahrungsgemäßen Verfahrens umfaßt beispielsweise die qualitative und quantitative Analyse von biologischen Proben auf Nukleinsäuren, insbesondere Blut und Blutderivate und biotechnologische

Produkte. Eine weitere beispielhafte Einsatzmöglichkeit liegt in der Diagnose und/oder der Überwachung des Verlaufes von Infektionen sowie in der Überwachung von Impf- und Therapiebehandlungen.

Ein wichtiger Aspekt der Erfindung betrifft daher biologische, insbesondere biotechnologische Produkte, die einen unterhalb der erlaubten Grenzen von 10 bzw. 100 pg pro Dosis, vorzugsweise unterhalb des Bereiches von 1 bis 100 Kopien pro Probe, liegenden und mit dem vorliegenden Verfahren gemessenen Gehalt an Nukleinsäuren aufweisen und damit als im wesentlichen frei von Nukleinsäuren gelten können.

Zu den bevorzugten Produkten gehören virale und bakterielle Proteine, wie gp160, rekombinante Blutfaktoren, Plasmaproteine, sowie Impfstoffe, insbesondere gegen Herpes-, Influenza-, TBE-, Parvo- oder Hepatitis-Viren und monoklonale Antikörper.

10 Gemäß einem weiteren Aspekt betrifft die vorliegende Erfindung auch die Verwendung des erfindungsgemäßen Verfahrens zur Detektion von Nukleinsäuren in biologischen Proben.

15 Im weiteren kämpft die Qualitätskontrolle insbesondere bei Impfstoffen oder biotechnologisch erzeugten Proteinen mit Background-Problemen. So kann man beim Bestimmen von kontaminierender Nukleinsäure (chromosomale DNA, RNA, virale DNA und RNA) bei Primaten-Zellkulturen auch die Verunreinigungen durch die Handhabung während der Produktion oder während der Aufarbeitung der Produkte durch das erfindungsgemäße Verfahren erfassen, wenn die eingesetzten Primer spezifisch sind. Erfolgt die Produktion von rekombinanten Proteinen allerdings in Nicht-Primaten-Zellkulturen, wie zum Beispiel CHO (Chinese Hamster Ovarien), BHK (Baby Hamster Nierenzellen) oder CEC (Hühner-Embryozellen), so ist die Nachweigrenze mit der erfindungsgemäßen Methode weit niedriger, da das Problem der Verunreinigungen durch die Handhabung der Probe wegfällt. Besonders bevorzugt wird die erfindungsgemäße Quantifizierungsmethode bei Nukleinsäuren aus CHO-, Vero-(Affenzelllinie), BHK-, SK-Hep1-(menschliche Leberzelllinie), Hybridom- oder CEC-Zellen angewendet, da diese Zellkulturen am gebräuchlichsten sind bei der Produktion von Impfstoffen oder biotechnologisch hergestellten Proteinen.

20 25 Die Auswahl der Primerpaare ist selbstverständlich ebenfalls ein wichtiger Faktor, um eine gute Quantifizierung zu erhalten. Daher betrifft die vorliegende Erfindung gemäß einem weiteren Aspekt Primer, welche im vorliegenden Verfahren zur Anwendung kommen, nämlich

HAV+2058:ACTGCCATTGGGAAGCTTATTGTG HAV 2058-2081 Seq.ID 3,

30 HAV-2172:CATCCATAGCATGATAAAGAGGGAGC HAV 2196-2172 Seq.ID 4,

(Numerierung nach Cohen et al. (J.Virol.61 (1987) 50-59)

HCV32EXT: CTGTGAGGAACCTACTGTCTTACGCAG HCV 45-70 Seq.ID 5,

HCVPT4: CGGTTCCGAGACCACTATG HCV 158-139 Seq.ID 6,

35 (Numerierung nach Han et al. (PNAS 88 (1991) 1711-1715)

HBV+1780B:CATTGATCCTTATAAAGAATTGGAGC HBV 1780-1806 Seq.ID 7

und

40 HBV-1960B:CCAGCAGAGAATTGCTTGCTGAG HBV 1983-1960 Seq.ID 8

(Numerierung nach Fujiyama et al. (Nucleic Acids Res.11 (1983)

4601-4610)

45 opr1-r: AAA ATA GGA TCA TGA TGG C Vaccinia 84625-84644 Seq.ID 9,

opr1-f:ATA TTA GAT GGT GCC ACC GT Vaccinia 84761-84743 Seq.ID 10

(Numerierung nach Goebel et al., Virology 179: 247-266, 1990),

gD1/B: AACTACCCCGATCATCAG HSV 138364-138381 Seq.ID 11,

50 gD2R/B: AGGCCCACTATGACGACA HSV 138477-138456 Seq.ID 12

(McGeoch D.J., et al., EMBL GenBank ID HE1CG)

und Plasmide für die Herstellung der Standards, nämlich

55 pgag1 (bestehend aus dem bekannten pBS/SK-Plasmid und einem Insert zwischen der Pst I und der Apa I Stelle der multiplen Klonierungsstelle, welches Insert die Basenpaare (bp) 1417 bis 2008 der HIV-1 Sequenz aus Ruitner et al. (Nature 313 (1985), 277-284) enthält).

pgag-15 (abgeleitet aus pgagI mit einer Deletion von 15 bp ab bp 1593 der HIV-1 Sequenz aus Ratner et al.),  
 ↘ pgag+12 (abgeleitet aus pgagI, indem eine 12 Nukleotide lange Insertion an der bp1593-Stelle eingefügt wurde),

5 pHAV-wt (bestehend aus dem bekannten pCRII-Plasmid) und einem Insert an der multiplen Klonierungsstelle des pCRII-Plasmids, welches Insert die bp 2020 bis 2226 der cDNA-Sequenz aus Cohen et al. enthält),

pHAV-10bp (abgeleitet aus pHAV-wt mit einer Deletion von 10 bp ab bp 2100 der HAV-Sequenz aus Cohen et al. eingefügt wurde),

10 pHAV+9bp (abgeleitet aus pHAV-wt, indem eine 9 Nukleotide lange Insertion an der bp2100-Stelle eingefügt wurde),

pHCV-wt (bestehend aus dem bekannten pBS/SK Plasmid und einem Insert an der EcoRV-Stelle dieses Plasmids, welches Insert die bp27 bis 313 der cDNA-Sequenz aus Han et al. enthält),

pHCV-7bp (abgeleitet aus pHCV-wt mit einer Deletion von 7bp ab bp 126 der HCV-Sequenz aus Han et al. eingefügt wurde),

15 pHCV+8bp (abgeleitet aus pHCV-wt, indem eine 8 Nukleotide lange Insertion an der bp126-Stelle eingefügt wurde),

pHBV-wt (bestehend aus dem bekannten pCRII-Plasmid und einem Insert, welches Insert die bp 1763 bis 2032 des HBV-Genoms gemäß Fujiyama et al. enthält),

20 pHBV-9bp (abgeleitet aus pHBV-wt mit einer Deletion von 9bp ab bp 1868 der HBV-Sequenz aus Fujiyama et al. eingefügt wurde),

pHBV+12bp (abgeleitet aus pHBV-wt, indem eine 12 Nukleotide lange Insertion an der bp1868-Stelle eingefügt wurde),

25 pVV-wt (abgeleitet aus dem bekannten pTZ19R-Plasmid von Pharmacia mit einem Insert zwischen den beiden PVVII-Stellen dieses Plasmids, welches Insert die bp 83855 bis 84761 des Thymidinkinase-Gens des Vaccinia-Virus (nach Goebel et al., 1990) enthält.),

pVV-21 (abgeleitet aus pVV-wt mit einer Deletion von 21 Nukleotiden (bp 84718 bis 84738),

pVV+24 (abgeleitet aus pVV-wt mit einer Insertion von 24 bp an der Stelle 84713),

30 pHerp (abgeleitet von dem bekannten pCRII-Plasmid (Firma In Vitrogen) und einem Insert, welches Insert die bp 138364 bis 138784 des HSV-Genoms gemäß McGeoch et al., EMBL GenBank DE 1 CG1 enthält),

pHerp-9 (abgeleitet von pHerp mit einer Deletion von 9 Nukleotiden (bp 138388 bis 138396) und

35 pHerp+10 (abgeleitet von pHerp mit einer Insertion von 10 bp bei bp 138407).

Gemäß einem weiteren Aspekt bezieht sich die vorliegende Erfindung auch auf ein Set zur Quantifizierung von Nukleinsäuren in einer Probe, welches umfaßt:

40 50 - mindestens zwei bekannte Nukleinsäuren als interne Standards, welches sich voneinander und von den zu quantifizierenden Nukleinsäuren in mindestens einem nachweisbaren Charakteristikum unterscheiden,

- Fluoreszenz-markierte Primer, die an die Standard-Nukleinsäure und an die zu quantifizierende Nukleinsäure binden,
- positive Kontrollen, welche bekannte Mengen einer Nukleinsäure, an der Interesse besteht, aufweisen,

55 - eine negative Kontrolle, welche Humanplasma, das frei von der viralen Nukleinsäure ist, an der Interesse besteht, aufweist, und

- eine Arbeitsanleitung.

Bevorzugte Ausführungsformen des Sets gemäß der vorliegenden Erfindung sind die folgenden:

1.) Set zur Quantifizierung von HIV-RNA in einer Probe, welches umfaßt:

- 5 - mindestens zwei interne Standards, die eine in vitrotranskribierte RNA aufweisen, welche von den Plasmiden pgag-15 und pgag-12 stammt,
- die Fluoreszenz-markierten Primer SK38 und SK39
- eine positive Kontrolle, welche bekannte Mengen an HIV-1-Teilchen aufweist,
- eine negative Kontrolle, welche Humanplasma aufweist, das frei von Virus-Nukleinsäuren ist und
- eine Arbeitsanleitung.

2.) Set zur Quantifizierung von HCV-RNA in einer Probe, welches aufweist:

- 15 - mindestens zwei interne Standards, die eine in vitrotranskribierte RNA aufweisen, welche von den Plasmiden pHCV-7 und pHCV+8 stammt,
- die Fluoreszenz-markierten Primer HCV32Ext und HCVPT4
- positive Kontrollen, welche bekannte Mengen an HCV-Teilchen aufweisen,
- eine negative Kontrolle, welche Humanplasma aufweist, das frei von Virus-Nukleinsäuren ist und
- eine Arbeitsanleitung.

20 3.) Set zur Quantifizierung von HAV-RNA in einer Probe, welches aufweist:

- 25 - mindestens zwei interne Standards, die eine in vitrotranskribierte RNA aufweisen, welche von den Plasmiden pHAV-10 und pHAV+9 stammt,
- die Fluoreszenz-markierten Primer HAV+2058 und HAV-2172
- positive Kontrollen, welche bekannte Mengen an HAV-Teilchen aufweisen,
- eine negative Kontrolle, welche Humanplasma aufweist, das frei von Virus-Nukleinsäuren ist und
- eine Arbeitsanleitung.

30 4.) Set zur Quantifizierung von HBV-DNA in einer Probe, welches aufweist:

- 35 - mindestens zwei interne Standards, die die Plasmide pHBV-9 und pHBV+12 aufweisen,
- die Fluoreszenz-markierten Primer HBV+1780B und HBV-1960B
- positive Kontrollen, welche bekannte Mengen an HBV-Teilchen aufweisen,
- eine negative Kontrolle, welche Humanplasma aufweist, das frei von Virus-Nukleinsäuren ist und
- eine Arbeitsanleitung.

5.) Set zur Quantifizierung von HSV-DNA in einer Probe, welches aufweist:

- 40 - als interne Standards, die Plasmide pHerp-9 und pHerp+10,
- die Fluoreszenz-markierten Primer gDR/B und gDR2P/B
- positive Kontrollen, welche bekannte Mengen an HSV-Teilchen aufweisen,
- eine negative Kontrolle, welche Humanplasma aufweist, das frei von Virus-Nukleinsäuren ist und
- eine Arbeitsanleitung.

45 Die Erfindung wird in den nachstehenden Beispielen und den dazugehörigen Zeichnungsfiguren, auf die sie jedoch nicht beschränkt sein soll, noch weiter erläutert. Insbesondere wird in den Beispielen gezeigt, daß das erfindungsge- mäßige Verfahren sich hervorragend für eine routinemäßige, schnelle und trotzdem genaue und reproduzierbare Quantifizierung von Nukleinsäuren in unterschiedlichsten Proben eignet.

50 Es zeigen: Fig.1 die Klonierung von pgag-15 und pgag-12; Fig.2 die Ergebnisse der Quantifizierung von HIV mit RT-PCR; Fig.3 die Ergebnisse der Quantifizierung von HAV mit RT-PCR; Fig. 4 die Ergebnisse der Quantifizierung von HBV; und Fig.5 ist das Sequenzprotokoll.

## Beispiele

## 1. Allgemeine Arbeitsvorschriften:

## 5 1.1. Prinzip des Verfahrens

10 Nukleinsäuren unterschiedlicher Herkunft werden mittels PCR unter Verwendung von Primern, welche fluoreszierende Gruppen haben, amplifiziert (Saiki et al., *Science* 239 (1985) 487-491). Die Analyse und die Quantifizierung der erhaltenen amplifizierten PCR-Produkte wurde mit Hilfe eines automatischen DNA-Sequenzierers mit laserinduzierter Fluoreszenz-Meßeinrichtung (DNA-Sequenzierer 373A mit Gene Scan®-Software von Applied Biosystems) ausgeführt. Dieses Instrument ist in der Lage, die Fluoreszenz-markierten PCR-Produkte mittels einer Gelelektrophorese in einem Polyacrylamidgel unter denaturierenden Bedingungen der Größe nach aufzutrennen und deren Menge quantitativ zu bestimmen. Die Kopienzahl bestimmter Sequenzen in der Probe wird auf Grundlage der erhaltenen Intensitäten der PCR-Produkte von zu quantifizierender Nukleinsäure und mindestens zwei internen Standards bestimmt.

## 15 1.2.1. Extraktion der DNA viraler Partikel

20 500 µl der Probe werden für 20 min bei 70000 rpm in einer Ultrazentrifuge zentrifugiert. Das Pellet wird in 500 µl 10 mM TRIS/HCl pH 8,0 und 10 µl Proteinase K (Boehringer Mannheim, 20 mg/ml), sowie 10 µl 20% SDS aufgelöst.

25 Eine bestimmte Menge an Standard-Nukleinsäure und 1 µg Hering-Sperma-DNA werden zugesetzt, und die Probe wird 1 h lang bei 56°C inkubiert. Die Probe wird nacheinander mit Phenol und Chloroform extrahiert, und 10 µl Glykogen (Boehringer Mannheim, 20 mg/ml) werden zugesetzt. Anschließend wird mit Ethanol präzipitiert, zentrifugiert, das Pellet gewaschen und schließlich in Wasser wieder gelöst.

## 25 1.2.2. Extraktion proviraler DNA

30 5 x 10<sup>5</sup> Zellen werden in 100 µl Lysis-Puffer (1 X PCR-Puffer von Boehringer, 0,5 mg/ml Proteinase K, 0,45 % Tween) 5 h bei 56°C lysiert. Aliquote davon werden für die PCR eingesetzt.

## 35 1.2.3. Extraktion viraler Rest-DNA

35 500 µl der Probe werden in 5 µl 10 mM TRIS/HCl pH 8,0 und 10 µl Proteinase K (Boehringer Mannheim, 20 mg/ml) aufgelöst. Nach Inkubation über Nacht bei 37°C oder für 4 h bei 56°C wird eine bestimmte Menge an Standard-Nukleinsäure zugesetzt, die Probe nacheinander mit Phenol und Chloroform extrahiert und 10 µl Glykogen (Boehringer Mannheim, 20 mg/ml) zugesetzt. Anschließend wird mit Ethanol präzipitiert, zentrifugiert, das Pellet gewaschen und schließlich in Wasser wieder gelöst.

## 1.2.4. Extraktion von RNA

40 1 ml Plasma bzw. mit PBS verdünntes Plasma wird bei 70000 rpm 20 min. zentrifugiert. Der Überstand wird durch Absaugen entfernt. Das Pellet wird in 1 ml Guanidiniumisothiocyanat-Lösung (RNAzol® der Firma Biotex) aufgenommen und 5 µl 1 mg/ml t-RNA aus Hefe und eine vorbestimmte Menge, z.B. 20 µl, Standard-RNA zugegeben.

45 Es werden eine vorbestimmte Anzahl, z.B. 400 und 1200 Kopien, des Minus- und Plus-RNA-Standards zugegeben und gevortext. Die Lösung wird 10 min bei 70°C erhitzt, dann 1/10 Volumen Chloroform zugegeben und für 10 min auf Eis inkubiert. Dann wird für 5 min in einer Tischzentrifuge zentrifugiert, der Überstand in neue Röhrchen transferiert. 500 µl Isopropanol wird zugegeben und 15 min auf -80°C gestellt. Anschließend wird 10 min zentrifugiert, 2 x mit 70 % Ethanol gewaschen und das Pellet in 50 µl Wasser aufgenommen. Für die RT-PCR-Reaktion werden 5 µl eingesetzt.

## 1.3.1. PCR für den Nachweis von DNA

50 Der PCR-Ansatz enthält in bekannter Weise ein Aliquot der extrahierten Nukleinsäure, PCR-Puffer (Boehringer Mannheim), MgCl<sub>2</sub>, dNTPs, Primer, Taq-DNA-Polymerase (Boehringer Mannheim, 5,0 E/µl) und Wasser. Die PCR wird gemäß den Angaben des Herstellers von Puffer- und Enzym bzw. gemäß üblicher Arbeitsvorschriften (Mullis et al., *Methods in Enzymology* 155 (1987), 335) in einem PCR-Apparatur (GeneAmp PCR System 9600 der Firma Perkin-Elmer) durchgeführt.

## 1.3.2. RT-PCR für den Nachweis von RNA:

Der RT-PCR-Ansatz enthält in bekannter Weise ein Aliquot der extrahierten Nukleinsäure RT-Puffer von Perkin-Elmer, MgCl<sub>2</sub>, dNTPs, den RT-Primer und RT-th.-Polymerase (Perkin-Elmer, 2,5 E/μl) und Wasser. Die RT wird gemäß den Angaben des Herstellers von Puffer und Enzym bzw. gemäß üblicher Arbeitsvorschriften (Mullis et al., Methods in Enzymology 155 (1987), 335) in einem PCR-Apparatur (GeneAmp PCR System 9600 der Firma Perkin-Elmer) durchgeführt.

Für die PCR-Reaktion werden noch MgCl<sub>2</sub>, ein Chelatpuffer und der zweite Primer zugegeben. Dann wird die PCR nach den oben beschriebenen Angaben durchgeführt.

10

## 1.4. Analyse der Produkte

Für die Bestimmung und Quantifizierung der PCR-Produkte werden der PCR-Lösung 0,5 bis 1,0 μl entnommen und in einem 373A Instrument der Firma Applied Biosystems gemäß den Angaben des Herstellers analysiert.

15

## 1.5. Anordnung der Kontrollen in (RT)-PCR

Zusätzlich zu strengen internen Kontrollen sichert eine Anordnung von positiven und negativen Kontrollen die PCR-Ergebnisse. In den verschiedenen Kontrollen werden die Standards in verschiedenen Schritten des Analyse-Verfahrens zugegeben (Liste 1).

25

30

35

40

45

50

55

## Liste 1. Anordnung der Kontrollen in (RT)-PCR

5	Art	Kommentar
<b><u>negative Kontrollen</u></b>		
10	k1**	Reagenz-Leer-Kontrolle. Zugabe von Wasser zur RT-Mischung und PCR-Mischung. Die Handhabung erfolgt in dem (Labor-) Bereich, in welchem die Stammlösungen gelagert werden. Die Probe wird bis zur PCR auf Eis gehalten. Diese Kontrolle liefert Informationen über die Verunreinigung in den Reagenzien.
<b><u>Verunreinigungskontrolle</u></b>		
20	k3**	Verunreinigungskontrolle. Zugabe von Wasser anstelle von Extrakt zur RT-Mischung. Die Analyse erfolgt wie für die anderen Proben. Diese Kontrolle liefert Informationen über die Verunreinigung aufgrund der Handhabung in jenem (Labor-)Bereich, in welchem die RT-PCR durchgeführt wird.
25	k4*	Verunreinigungskontrolle. Analyse eines Extrakts, hergestellt aus einem negativen Kontrollplasma oder PBS. Mit dieser Kontrolle werden infolge des Extraktionsver- ganges falsch positive Ergebnisse nachgewiesen. Keine Zugabe interner Standards.
30	<b><u>positive Kontrollen:</u></b>	
35	k5*	Interner Standard/Reagenz-Kontrolle. Direkte Zugabe des internen Standard in die RT-PCR/PCR-Reaktion ohne vorherige
40		
45		
50		
55		

Extraktion. Mit dieser Kontrolle wird die Integrität der internen Standards und die Funktionalität des Reagenz getestet.

10 k6\*\*\*Verifizierungskontrolle. Analyse einer bestimmten Menge  
eines Verifizierers, hergeleitet aus Wildtyp-Standard-  
Plasmiden durch in vitro-Transkription. Mit dieser Kontrolle  
wird der Extraktionsvorgang und die Menge der internen  
Standards getestet.

15 k7\* Virusteilchenkontrolle. Analyse einer bestimmen Menge  
an Virusteilchen enthaltenden Aliquots, das in negativem  
Plasma oder PBS auf eine geeignete Konzentration verdünnt  
wurde. Mit dieser Kontrolle wird die Gesamtleistung der  
verwendeten Untersuchung getestet.

25 \* die Kontrollen k4, k5 und k7 werden in jeder Extraktions-  
reihe durchgeführt;  
\*\* die Kontrollen k1 und k3 werden durchgeführt, sobald falsch  
positive Wildtyp-Signale auftreten;  
30 \*\*\* k6 wird nur durchgeführt, wenn neue Chargen interner  
Standards hergestellt werden; die Kontrolle k2 wurde seit  
der Einführung der hier beschriebenen Vorgangsweise mit  
35 einem Enzym in nur einem Röhrchen ausgelassen.

## 2. Beispiel 1: Quantifizierung von HIV durch reverse Transkriptase-PCR (RT-PCR)

Bei dieser Quantifizierung werden Primer verwendet, welche in den cDNA-Sequenzen des HIV-1 binden und durch RT-PCR von Wildtyp-RNA ein 115 bp großes Produkt ergeben, nämlich

SK38: ATATCCACCTATCCCAGTAGGAGAAAT HIV-1 1551-1578 Seq.ID 1  
SK39: TTGGTCCTTGTCTTATGTCCAGAATGC HIV-1 1665-1638 Seq.ID 2

45 (Numerierung nach Ratner et al.). Die Primer wurden unter Verwendung der Phosphoamidit-Chemie auf einem DNA-Synthesizer hergestellt (Applied Biosystems 394 DNA Synthesizer).

Die Standard-Plasmide pgag-15 und pgag-12 sind abgeleitet aus dem Plasmid pgag1, welches aus dem bekannten pBS/SK'-Plasmid (Firma Stratagene) und einem Insert in der multiplen Klonierungsstelle dieses Plasmids besteht, welches Insert die bp 1417 bis 2008 des HIV-1 aus Ratner et al. enthält.

In ppag-15 wurden die bp 1593 bis 1607 deletiert, in ppag-12 ein 12 bp langes Insert an der Stelle 1593 eingefügt (siehe Fig.1). Die Plasmide wurden gereinigt (QUIAGEN-Verfahren), die Konzentration durch spektroskopische Messung bei 260 nm bestimmt und in einem 10mM TRIS/HCl pH 8.0, 1 mM EDTA-Puffer verdünnt (Sambrook et al. Molecular Cloning, Second Edition, Cold Spring Harbor Lab Press, Cold Spring Harbor (1989)).

55 Nach Linearisierung mit Asp718 ergibt die in vitro Transkription mit T3-Polymerase gemäß Sambrook et al. ein  
644 "+"-Transkript und ein 617 b "-"-Transkript, welche mit einer Guanidinethiocyanatlösung extrahiert und durch  
spektrophotometrische Messungen bei 260 nm quantifiziert werden.

Diese RNA-Präparationen dienen als Standard für die RT-PCR.

Die Länge der RT-PCR-Produkte von Standard und Wildtyp-DNA betragen daher 127 (pgag+12), 100 (pgag-15) und 115 bp (wt).

Die Figuren 2A und 2B illustrieren die Ergebnisse eines Kontrollexperiments. Zwei Proben mit je 100 Kopien wt-RNA, hergestellt von dem Plasmid pgag, nach oben beschriebener Methode extrahiert, durch Koamplifikation mit "-" und "+"-Standard amplifiziert und durch "Genescanning" analysiert. In beiden Spuren sind die PCR-Produkte von "-", "wt"- und "+"-Standard zu erkennen. Die Resultate der quantitativen Auswertung dieser Chromatogramme sind in Tabelle 1, Zeilen 1 und 2, angegeben.

Die Spalten "N-added" und "N+added" geben die Anzahl von zugegebenen Kopien von "-"- und "+"-Standard an. "Dilution" gibt den Verdünnungsfaktor an, um den die Probe verdünnt wurde, "Volume" das aufgearbeitete Volumen.

10 "Sample" gibt den Probencode an, "Comment" enthält weitere Informationen zur Probe. "GS#, Lane" gibt den Analyselauf bzw. die Nummer der Spur in diesem Lauf an. "A-", "Awt" und "A+" geben die Peakflächen, also die Intensität der PCR-Produkte von "-", "wt" und "+". "N-Base" bzw. "N+Base" enthält das Resultat, angegeben in Kopien pro ml Probe, berechnet nach oben angegebener Formel. Die Spalte "Final Result" gibt den Mittelwert dieser Werte an.

Für die Proben wurden 114 bzw. 106 Kopien gemessen, wobei beiden Proben 100 Kopien zugegeben wurde. Es ist festzustellen, daß zwischen theoretischem Wert (i.e. Kopien wt zugegeben) und gemessenem Wert (i.e. Kopien wt bestimmt) eine gute Übereinstimmung herrscht. Die Abweichungen betragen +14 bzw. +6 %. Daraus ist zu schließen, daß mit dieser Methode eine unbekannte Menge wt-RNA bestimmt werden kann.

Für ein weiteres Kontrollexperiment wurde ein negatives Plasma mit einer Präparation von HIVIIB versetzt, deren Infektiosität zuvor *in vitro* bestimmt wurde. Die Viruskonzentration im Plasma betrug 200 TCID<sub>50</sub> pro ml. Je 0,5 ml einer 1:10 bzw. einer 1:40 Verdünnung wurden wie oben beschrieben analysiert. Die Ergebnisse sind in den Figuren 2C und 2D sowie in den Zeilen 3 und 4 der Tabelle 1 wiedergegeben. Für beide Proben ergibt sich eine Kopienzahl im unverdünnten Plasma von 33187 bzw. 25895 pro ml. Die Abweichung vom Mittelwert beträgt 12 %. Dieses Experiment zeigt, daß die gemessene Kopienzahl HIV in einer Probe unabhängig von der im Test eingesetzten Menge ist.

Die Figuren 2E und 2F sowie die Zeilen 5 und 6 der Tabelle 1 zeigen die Ergebnisse der Bestimmung einer unbekannten Probe. In zwei unabhängigen Bestimmungen wurden 5612 bzw. 5828 Kopien gemessen. Die Abweichung beträgt 2 %. Daraus ist zu schließen, daß die oben beschriebene Methode zur sensitiven und präzisen Bestimmung von HIV geeignet ist.

Die höhere Abweichung bei Messung von verschiedenen Verdünnungen der gleichen Probe kann dem zusätzlichen Fehler durch das Verdünnen zugeschrieben werden.

30

35

40

45

50

55

## TABELLE 1

Nr.	zugesetztes Nutzungsvolumen	Verdunstung Vol.	Probe	Ergebnis	N-Basis	N-Basis Ergebnis	GeBahn	A.	A.
1	500	1500	1	K6.941020.31/100 cop. w1 209.	109	120	114	128, 20	10303
2	500	1500	1	K6.941020.41/100 cop. w1 209.	76	136	106	128, 21	22353
3	250	750	1.0	0.3 HIV 940328.11 [Kontroll]plasma	2107.9	45298	31187	194, 01	11169
4	250	750	4.0	0.5 HIV 940328.31 [Kontroll]plasma	22621	28969	25395	194, 03	10400
5	500	1500	1	0.25 Probe	5349	5875	5412	147, 01	11567
6	500	1500	1	0.25 Probe	7460	4197	56228	148, 10	12161
								32260	33270
								40961	40964
									56581

## 3. Beispiel 2: Quantifizierung von HAV durch RT-PCR

Bei dieser Quantifizierung werden Primer verwendet, welche in den cDNA-Sequenzen des HAV binden und durch RT-PCR von Wildtyp-RNA ein 139 bp großes Produkt ergeben, nämlich

5                    HAV+2058 : ACTGCCATTGGGAAGCTTATTGTG            HAV 2058-2081 Seq. ID 3  
 und  
 10                HAV-2172 : CATCCATAGCATGATAAAGAGGAGC            HAV 2196-2172 Seq. ID 4

(Numerierung nach Cohen et al. (J.Virol.61 (1987) 50-59). Die Primer wurden unter Verwendung der Phosphoamidit-Chemie auf einem DNA-Synthesizer hergestellt (Applied Biosystems 394 DNA Synthesizer).

15                Die Standard-Plasmide pHAV-10 und pHAV+9 sind abgeleitet aus dem Plasmid pHAV-wt, welches aus dem bekannten pCRII-Plasmid (Firma In Vitrogen) und einem Insert in der multiplen Klonierungsstelle dieses Plasmids besteht, welches Insert die bp 2020 bis 2226 des HAV aus Cohen et al. enthält.

20                In pHAV-10 wurden die bp 2100 bis 2109 deletiert, in pHAV+9 ein 9 bp langes Insert an der Stelle 2100 eingefügt. Die Plasmide wurden gereinigt (QUIAGEN-Verfahren), die Konzentration durch spektroskopische Messung bei 260 nm bestimmt und in einem 10mM TRIS/HCl pH 8/0,1 mM EDTA-Puffer verdünnt (Sambrook et al. Molecular Cloning, Second Edition, Cold Spring Harbor Lab Press, Cold Spring Harbor (1989)).

25                Nach Linearisierung mit AlwNI ergibt die in vitro Transkription mit T7-Polymerase gemäß Sambrook et al. ergibt ein 1140 b "+"-Transkript, ein 1121 b "-"-Transkript und ein 1131 b "wt"-Transkript, welche mit einer Guanidinethio-cyanatlösung extrahiert und durch spektrophotometrische Messungen bei 260 nm quantifiziert werden.

30                Diese RNA-Präparationen dienen als Standard für die RT-PCR.  
 Die Länge der RT-PCR-Produkte von Standard und Wildtyp-DNA betragen 148 (pHAV+9), 129 (pHAV-10) und 139 bp (wt).

35                Zwei Plasmen (PL1 und PL2) sowie zwei Albuminlösungen (Albumin und Humanalbumin) wurden mittels der beschriebenen Methode auf HAV untersucht. Tabelle 2 zeigt die Auswertung der Messungen mit dem Nukleinsäure-Dektionsgerät mit Hilfe eines Computerprogrammes (MS Excel®). Spalten 1 und 2 geben die Menge an eingesetzten Minus-Standard und Plus-Standard an. Spalten 3 und 4 bezeichnen Verdünnung und eingesetztes Volumen. In Spalte 5 ist die Probe angegeben, Spalte 6 bezeichnet das Virus, auf das untersucht wird. Die Kopienzahlen der Proben wurden sowohl anhand des Minus-Standards (N-Base; Spalte 7) als auch anhand des Plus-Standards (N+Base; Spalte 8) berechnet; der Mittelwert beider Bestimmungen ergibt das Meßergebnis. Spalte 9 blieb leer. Spalte 10 gibt die Nummer des Probenlaufes an. Die Spalten 11, 12 und 13 geben die Fläche der detektierten Peaks an.

40                Fig.3 zeigt die graphische Auswertung der HAV-Untersuchung, wobei in den verschiedenen Bahnern die Intensitäten der Fluoreszenzsignale der PCR-Produkte (und Nebenprodukte) dargestellt. Die Produkte sind anhand ihrer definierten Größe (in bp) identifizierbar. Die Standards sind 148 und 129 bp lang, der Wildtyp 139.

45

50

55

**TABELLE 2**

Die Ergebnisse dieser Untersuchungen zeigten, daß Plasma 1 positiv war (798 Kopien/ml), während die anderen

Proben unterhalb der Nachweisgrenze lagen. Der "Nachweisgrenzenpeak" (der Plus-Standard in einer Kopienzahl von 300 Kopien/ml extrahiertes Material) ist in allen Messungen klar erkennbar.

4. Beispiel 3: Quantifizierung von HCV durch RT-PCR

Bei dieser Quantifizierung werden Primer verwendet, welche in den cDNA-Sequenzen des HCV binden und durch RT-PCR von Wildtyp-RNA ein 114 bp großes Produkt ergeben, nämlich

HCV32EXT: CTG TGAGGA ACTACTGTCTTACGCAG HCV 45-70 Seq. ID 5 und  
10 HCVPT4: CGGTTCCGCAGACCACTATG HCV 158-139 Seq. ID 6

(Numerierung nach Han et al. (PNAS 88 (1991) 1711-1715). Die Primer wurden unter Verwendung der Phosphoamidit-Chemie auf einem DNA-Synthesizer hergestellt (Applied Biosystems 394 DNA Synthesizer).

Die Standard-Plasmide pHCV-7 und pHCV+8 sind abgeleitet aus dem Plasmid pHCV-wt, welches aus dem bekannten pBS/SK<sup>+</sup>-Plasmid (Firma Statagene) und einem Insert in der multiplen Klonierungsstelle dieses Plasmids besteht, welches Insert die bp 27 bis 313 des HCV aus Han et al. enthält.

In pHCV-7 wurden die bp 126 bis 135 deletiert, in pHCV+8 ein 8 bp langes Insert an der Stelle 126 eingefügt. Die Plasmide wurde gereinigt (QUIAGEN-Verfahren), die Konzentration durch spektroskopische Messung bei 260 nm bestimmt, mit XmnI geschnitten und in einem 10mM TRIS/HCl pH 8/0,1 mM EDTA-Puffer verdünnt (Sambrook et al., Molecular Cloning, Second Edition, Cold Spring Harbor Lab Press, Cold Spring Harbor (1989)).

In vitro-Transkription mit T3-Polymerase gemäß Sambrook et al. ergibt ein 1385 b "+"Transkript, ein 1370 b "-"Transkript und ein 1377 b "wt"Transkript, welche mit einer Guanidinisothiocyanatlösung extrahiert und durch spektrophotometrische Messungen bei 260 nm quantifiziert werden.

Diese RNA-Präparationen dienen als Standard für die RT-PCR.

Die Länge der RT-PCR-Produkte von Standard und Wildtyp-DNA betragen daher 122 (pHCV+8), 107 (pHCV-7) und 114 bp (wt).

Zwei Proben mit 200bzw. 2000 Kopien wt-RNA, hergestellt von dem Plasmid pHCV-wt, wurden nach oben beschriebener Methode extrahiert, durch Koamplifikation mit "-" und "+"-Standard amplifiziert und durch "Genescanning" analysiert. In beiden Spuren sind die PCR-Produkte von "-"-, "wt"- und "+"-Standard zu erkennen. Die Resultate der quantitativen Auswertung dieser Chromatogramme sind in den Zeilen 1 und 2 der Tabelle 3 angegeben. Die Tabelle ist analog zu Beispiel 1 aufgebaut.

Für die Proben wurden 1972 bzw. 193 Kopien gemessen, wobei den Proben 2000 bzw. 200 Kopien zugegeben wurden. Es ist festzustellen, daß zwischen theoretischem Wert (i.e. Kopien wt zugegeben) und gemessenem Wert (i.e. Kopien wt bestimmt) eine gute Übereinstimmung herrscht. Die Abweichungen betragen -1 bzw. -3 %. Daraus ist zu schließen, daß mit dieser Methode eine unbekannte Menge wt-RNA bestimmt werden kann.

Für ein weiteres Kontrollexperiment wurde ein Pool von HCV-positivem Plasma von verschiedenen Patienten verwendet. Je 0,5 ml einer 1:125 bzw. einer 1:625-Verdünnung wurden wie oben beschrieben analysiert. Die Ergebnisse sind in den Zeilen 3 und 4 der Tabelle 3 wiedergegeben. Für beide Proben ergibt sich eine Kopienzahl im unverdünnten Pool von 1215157 bzw. 898327 pro ml. Die Abweichung vom Mittelwert beträgt 15 %. Dieses Experiment zeigt, daß die gemessene Kopienzahl HCV in einer Probe unabhängig von der im Test eingesetzten Menge ist. Dieses Beispiel zeigt ferner, daß die Reproduzierbarkeit des erfindungsgemäßen Verfahrens nicht nur im Bereich geringer Kopienzahl, sondern auch im Bereich hoher Kopienzahl gegeben ist.

Die Zeilen 5 und 6 der Tabelle 3 zeigen die Ergebnisse der Bestimmung einer unbekannten Probe. In zwei unabhängigen Bestimmungen wurden 3277 bzw. 3676 Kopien gemessen. Die Abweichung beträgt 5 %. Daraus ist zu schließen, daß die oben beschriebene Methode zur sensitiven und präzisen Bestimmung von HCV geeignet ist.

Die höhere Abweichung bei Messung von verschiedenen Verdünnungen der gleichen Probe kann dem zusätzlichen Fehler durch das Verdünnen zugeschrieben werden.

TABELLE 3

Nr.	Nr. 2093: N+ausges. Verdünnung	Vol.	Probe	Erhöhung	N-6890	N-Basis Ergebnis	Gasbehn.	Amt	Amt			
1	1	1200	1	HCV 940314 21	2000 Kopien w!	2915	1972	181. 02	1053	7676	09.12	
2	2	400	1	HCV 940314 21	200 Kopien w!	234	182	181. 03	1100	644	5052	
3	3	400	125	HCV 940324 41	Plasma	168.167	566206	1215157	192. 12	500	5551	
4	4	400	1200	0.5	HCV 940324 41	Plasma	637312	1159343	696327	192. 13	4284	7032
5	5	400	1200	0.5	HCV 940324 51	Plasma	4553	1932	3277	204. 03	412	5613
6	6	400	1200	1	Protein	1	3690	3692	3076	204. 04	614	5605
					Protein						1656	

## 5. Beispiel 4: Quantifizierung von HIV-proviral DNA

Bei dieser Quantifizierung werden Primer verwendet, welche in den cDNA-Sequenzen des HIV-1 binden und durch PCR von proviraler HIV-DNA ein 115 bp großes Produkt ergeben, nämlich

5 SK38: ATAATCCACCTATCCCAGTAGGAGAAAT HIV-1 1551-1578 Seq. ID 1  
 SK39: TTTGGTCCTTGTCTTATGTCCAGAATGC HIV-1 1665-1638 Seq. ID 2

10 (Numerierung nach Ratner et al.). Die Primer wurden unter Verwendung der Phosphoamidit-Chemie auf einem DNA-Synthesizer hergestellt (Applied Biosystems 394 DNA Synthesizer).

Die Standard-Plasmide pgag-15 und pgag-12 sind abgeleitet aus dem Plasmid pgag1, welches aus dem bekannten pBS/SK'-Plasmid (Firma Stratagene) und einem Insert in der multiplen Klonierungsstelle dieses Plasmids besteht, welches Insert die bp 1417 bis 2008 der HIV-1 aus Ratner et al. enthält.

15 In pgag-15 wurden die bp 1593 bis 1607 deletiert, in pgag-12 ein 12 bp langes Insert an der Stelle 1593 eingefügt (siehe Fig.1). Die Plasmide wurde gereinigt (QUIAGEN-Verfahren), die Konzentration durch spektroskopische Messung bei 260 nm bestimmt, mit EcoRI geschnitten und in einem 10mM TRIS/HCl pH 8/0,1 mM EDTA-Puffer verdünnt (Sambrook et al. Molecular Cloning, Second Edition, Cold Spring Harbor Lab Press, Cold Spring Harbor (1989)).

Diese DNA-Präparationen dienen als Standard für die PCR.

20 Die Länge der PCR-Produkte von Standard und Wildtyp-DNA betragen daher 127 (pgag-12), 100 (pgag-15) und 115 bp (wt).

25 Die Ergebnisse einer Quantifizierungsreihe sind in Tabelle 4 wiedergegeben. Eine kodierte Kontrollreihe von positiven und negativen Proben, die HIV provirale DNA in unterschiedlicher Kopienzahl enthielten, wurden mit dem erfundungsgemäßen Verfahren bestimmt. Die Tabelle 4 zeigt, daß alle Negativkontrollen negativ und alle Positiv-Proben im richtigen Größenbereich quantifiziert wurden. Besonders bemerkenswert ist die genaue Messung im unteren Kopienbereich, siehe CD-13 und CD-26. Diese Proben enthielten nominal 2 Kopien/10<sup>5</sup>-Zellen und wurden mit jeweils 3 Kopien quantifiziert. Dies zeigt die Genauigkeit und extreme Sensitivität des erfundungsgemäßen Verfahrens.

TABELLE 4

PROBE	KOPIENZAHL		PROBE	KOPIENZAHL	
	nom.	gef.		nom.	gef.
CB-1	0	0	CD-16	0	0
CD-2	50	68	CD-17	0	0
CD-3	0	0	CD-18	0	0
CD-4	0	0	CD-19	2	5
CD-5	10	24	CD-20	20	16
CD-6	0	0	CD-21	0	0
CD-7	0	0	CD-22	0	0
CD-8	10	16	CD-23	10	18
CD-9	20	49	CD-24	0	0
CD-10	0	0	CD-25	0	0
CD-11	5	6	CD-26	2	3
CD-12	5	5	CD-27	50	71
CD-13	2	3	CD-28	0	0
CD-14	0	0	CD-29	5	5
CD-15	0	0	CD-30	20	25

## 55 6. Beispiel 5: Quantifizierung von HBV

Bei dieser Quantifizierung werden Primer verwendet, welche im Genom des HBV binden und durch PCR von

Wildtyp-DNA ein 182 bp großes Produkt ergeben, nämlich

**HBV+1780B : CATTGATCCTTATAAAGAATTGGAGC HBV 1780-1806 Seq.ID 7**

5 und

**HBV-1960B : CCAGCAGAGAATTGCTTGCTGAG HBV 1983-1960 Seq.ID 8**

(Numerierung nach Fujiyama et al.). Die Primer wurden unter Verwendung der Phosphoamidit-Chemie auf einem DNA-Synthesizer hergestellt (Applied Biosystems 394 DNA Synthesizer).

10 Die Standard-Plasmide pHBV-9 und pHBV+12 sind abgeleitet aus dem Plasmid pHBV-wt, welches aus dem bekannten pCRII-Plasmid (Firma In Vitogene) und einem Insert in der multiplen Klonierungsstelle dieses Plasmids besteht, welches Insert die bp 1763 bis 1868 der HBV aus Fujiyama et al. enthält.

15 In pHBV-9 wurden die bp 1868 bis 1876 deletiert, in pHBV+12 ein 12 bp langes Insert an der Stelle 1868 eingefügt. Die Plasmide wurden gereinigt (QUIAGEN-Verfahren), die Konzentration durch spektroskopische Messung bei 260 nm bestimmt, mit einem Restriktionsenzym einmal geschnitten und in einem 10mM TRIS/HCl pH 8/0,1 mM EDTA-Puffer verdünnt (Sambrook et al. Molecular Cloning, Second Edition, Cold Spring Harbor Lab Press, Cold Spring Harbor (1989)).

20 Diese DNA-Präparationen dienen als Standard für die PCR. Die Länge der PCR-Produkte von Standard und Wildtyp-DNA betragen daher 194 (pHBV+12), 173 (pHBV-9) und 182 bp (wt).

25 Die Ergebnisse einer Quantifizierungsreihe sind in Tabelle 5 wiedergegeben und in der Figur 4 graphisch veranschaulicht. Die Amplifizierungsreaktion wurde ausgehend von jeweils 150 Kopien pHBV-9 und 50 Kopien von HBV+12 und unterschiedlichen Mengen an pHBV-wt (400, 200, 100, 50 und 0 Kopien) durchgeführt. Jeder Ansatz wurde vierfach gemessen.

30

35

40

45

50

55

20

TABELLE 5

BAHN	CODE	A-9		A-WT		A+12		Kopien-9		Kopien+12		Kopien 1		Kopien 2		DURCHSCHNITT		ERGEBNISSE		A+12/A+15		
		11405	13230	31052	4461	9868	150	60	301,2	307,6	307,6	334,6	307,6	307,6	307,6	307,6	307,6	307,6	307,6	307,6	307,6	307,6
Bahn 1	400Kp.	11405	13230	31052	4461	9868	150	60	206,7	327,4	327,4	307,0	307,0	307,0	307,0	307,0	307,0	307,0	307,0	307,0	307,0	2,6
Bahn 2	400Kp.	33124	31052	4244	6193	6193	150	60	260,4	223,0	223,0	238,7	238,7	238,7	238,7	238,7	238,7	238,7	238,7	238,7	238,7	3,4
Bahn 3	200Kp.	18698	15243	6980	150	60	160	50	160,3	230,6	230,6	209,9	209,9	209,9	209,9	209,9	209,9	209,9	209,9	209,9	209,9	2,7
Bahn 4	200Kp.	30530	19323	6360	160	50	150	50	64,9	76,3	76,3	71,5	71,5	71,5	71,5	71,5	71,5	71,5	71,5	71,5	71,5	3,7
Bahn 5	100Kp.	24400	5270	6731	150	50	160	60	102,4	135,0	135,0	127,7	127,7	127,7	127,7	127,7	127,7	127,7	127,7	127,7	127,7	3,0
Bahn 6	100Kp.	18746	7632	6581	160	60	160	60	102,4	135,0	135,0	127,7	127,7	127,7	127,7	127,7	127,7	127,7	127,7	127,7	127,7	3,4
Bahn 7	50Kp.	34103	4244	6193	160	60	37,3	61,8	37,3	61,8	61,8	44,6	44,6	44,6	44,6	44,6	44,6	44,6	44,6	44,6	44,6	5,5
Bahn 8	50Kp.	20618	3691	6570	150	60	37,4	41,9	37,4	41,9	41,9	39,6	39,6	39,6	39,6	39,6	39,6	39,6	39,6	39,6	39,6	2,4
Bahn 9	K6	33284	-1	10198	160	60	0,0	0,0	0,0	0,0	0,0	0,0	0,0	0,0	0,0	0,0	0,0	0,0	0,0	0,0	0,0	0,0
Bahn 10	K6	16217	-1	6303	150	60	0,0	0,0	0,0	0,0	0,0	0,0	0,0	0,0	0,0	0,0	0,0	0,0	0,0	0,0	0,0	0,0
Bahn 11	K3	-1	-1	-1	-1	-1	-1	-1	-1	-1	-1	-1	-1	-1	-1	-1	-1	-1	-1	-1	-1	
Bahn 12	K3	-1	-1	-1	-1	-1	-1	-1	-1	-1	-1	-1	-1	-1	-1	-1	-1	-1	-1	-1	-1	

Die Ergebnisse zeigen, daß der festgestellte DNA-Gehalt sehr gut reproduzierbar ist.

## 7. Beispiel 6: Quantifizierung der DNA von Herpes Simplex-Virus (HSV)

Bei dieser Quantifizierung wurden Primer verwendet, welche im Genom des HSV binden und durch PCR von Wildtyp-DNA ein 114 bp langes Produkt ergeben, nämlich

5	gDR1/B:	AAC TAC CCC GAT CAT CAG	Seq. ID 11
	GDR2R/B:	AGG CCC ACT TAG ACG ACA	Seq. ID 12

10 Das Standard-Plasmid pHerp-9 ist abgeleitet aus dem Plasmid pHerp, welches aus dem bekannten pCRII-Plasmid (Firma In Vitrogen) und einem Insert von bp128364 bis 138784 des HSV-Genoms (McGeoch D.J. et al., EMBL GenBank ID HEICG1) besteht.

15 In pHerp-9 wurden 9bp deletiert. Die Plasmide wurden gereinigt, die Konzentrationen durch spektroskopische Messung bei 260nm bestimmt, mit einem Restriktionsenzym linearisiert und in einem TE-Puffer (10 mM Tris/HCl, 1mM EDTA, pH 8) verdünnt.

15 Dieses DNA-Präparat dient als Standard für die PCR. Die Länge der PCR-Produkte von Standard und Wildtyp betragen daher 105 (pHerp-9) und 114 bp (pHerp).

20 Die Ergebnisse einer Quantifizierung sind in der Tabelle 6 wiedergegeben. Fünf Proben sowie 1,66 pg pHerp Wildtyp DNA wurden in Anwesenheit von 40000 (Spalte 1) Kopien Standard pHerp-9 mittels der beschriebenen Methode analysiert. Der Faktor F2 der beschriebenen Formel zur Berechnung der Herpes DNA-Menge ist in diesem Fall 1/6000. Die Spalten 2 und 3 geben den Verdünnungsfaktor sowie das eingesetzte Volumen der Probe an. Spalte 4 gibt den Namen der Probe an. Spalte 5 enthält zusätzliche Informationen über die Proben (wenn nötig). In der Spalte 6 ist die errechnete Menge an HSV-DNA in pg/ml angegeben. Der Mittelwert der Doppelbestimmung ist in Spalte 7 angegeben. Spalte 8 und 9 geben die Flächen der detektierten Peaks von Standard-Plasmid (Spalte 8) und von Wildtyp (Spalte 9) an.

25 Bei den Proben 14, 17 und JA10 werden Doppelbestimmungen von Herpes-DNA gemacht, die eine Abweichung vom Mittelwert von 0 % bis 4,3 % aufweisen. Diese geringe Standardabweichung kann noch drastisch verbessert werden, wenn man bei den Bestimmungen auch den pHerp+10-Standard mitbestimmt.

30

35

40

45

50

55

TABELLE 6

Wzugsröhre/Verdünnung	Vol.	Probe	Er. Räuterung	pg/ml	Ergebnis	A+	AWI
			0000.00 Herpag	1333.			
400000	1	0.5	Probe 14.111.	3.1	3	100	100000
400000	1	0.5	Probe 14.12.	2.9	2	7872	1840
400000	1	0.5	Probe 16.11.	5.5	6.75	8171	1774
400000	1	0.5	Probe 16.12.	6.		11105	4026
400000	1	0.5	Probe 17.11.	1.7	1.7	7286	3311
400000	1	0.5	Probe 17.12.	1.7	1.7	12402	1570
400000	1	0.5	JA 10.11.	1.6	1.65	9118	1181
400000	1	0.5	JA 10.12.	1.7		10719	1316
400000	1	0.5	H2O.	0	0	9200	1148
400000	1	0.5	H2O.	0	0	7843	1
400000	1	0.5		0	0	4077	1
400000	1	0.5		0	0	1	1
400000	1	0.5		0	0	1	1
100000	1	1	1.6629 M1.1.2.	1.6		38863	4952
	1	2	3	4	5	6	7
						8	9

## 8. Beispiel 7: Quantifizierung von Vaccinia-DNA

Bei dieser Quantifizierung wurden Primer verwendet, welche im Genom des Vaccinia-Virus binden und durch PCR von Wildtyp-DNA ein 136 bp langes Produkt ergeben, nämlich

opr1-r      AAA ATA GGA TCA TGA TGG C      bp 84626-84644  
 opr1-f      ATA TTA GAT GGT GCC ACC GT      bp 84761-84743

5 (Numerierung nach Goebel et al., Virology 179: 247-266, 1990). Die Primer wurden auf einem DNA-Synthesizer hergestellt (Applied Biosystems 394 DNA Synthesizer).

Das Standard-Plasmid pVV-21 ist abgeleitet aus dem Plasmid pVV-wt, welches aus dem bekannten pTZ19R-Plasmid (Pharmacia) und einem Insert zwischen den beiden Pvull-Restriktionsschnittstellen dieses Plasmids besteht. Dieses Insert enthält die bp 83855 bis 84761 der Thymidinkinasegen-Region des Vaccinia-Virus (siehe Goebel et al., 10 1990).

In pVV-21 wurden 21 bp (von bp 84718 bis 84738) deletiert.

Die Plasmide wurden gereinigt, die Konzentrationen durch spektroskopische Messung bei 260 nm bestimmt, mit einem Restriktionsenzym linearisiert und in einem TE-Puffer (10 mM Tris/HCl, 1mM EDTA, pH 8) verdünnt.

15 Dieses DNA-Präparat dient als Standard für die PCR. Die Länge der PCR-Produkte von Standard und Wildtyp betragen daher 115 (pVV-21) und 136 (pVVwt).

Die Ergebnisse einer Quantifizierung sind in der Tabelle 7 wiedergegeben. Proben, Wasser und 10 pg Vaccinia-DNA wurden in Anwesenheit von 10000 Kopien Standard-Plasma (Spalte 1) mittels der beschriebenen Methode analysiert. Der Wert des Faktors F2 der beschriebenen Formel für die Berechnung der Vaccinia-DNA in pg/ml ist in diesem Fall 1/5000.

20 Die Spalten 2 und 3 geben den Verdünnungsfaktor sowie das eingesetzte Volumen der Probe an. In Spalte 4 können (wenn nötig) mehr Informationen über die Probe angegeben werden. Spalte 5 gibt den Namen der Probe an. In Spalte 6 ist die berechnete Menge an Vaccinia-DNA in pg/ml angegeben. Spalte 7 gibt die Nummer des Genescanner-Laufes an, in dem die PCR-Produkte analysiert worden sind. Spalte 8 und 9 geben die Flächen der detektierten Peaks von Standard-Plasmid (Spalte 8) und von Wildtyp (Spalte 9) an.

25 Bei der Probe 311494 werden 1,64 pg, bzw. 1,77 pg Vaccinia-DNA gemessen, wobei die Abweichung vom Mittelwert bei 3,8 % liegt. Bei der Probe 310494 werden 7,0 pg, bzw. 7,2 pg Vaccinia-DNA gemessen, wobei die Abweichung vom Mittelwert bei 1,4 % liegt. Diese geringe Standardabweichung kann noch drastisch verbessert werden, wenn man bei den Bestimmungen auch den pVV+24-Standard mitbestimmt.

30

TABELLE 7

35

N-zugegeben	Verdünnung	Volumen	Probe	Erläuterung	pg/ml	GS#, Bahn	A-	Awt
45000	1	0,5	00000.00	keine	1800	261, 00	100	10000
40000	1	1	10pg	keine	10,8	259, 08	35636	47165
40000	5	0,5	310494	keine	7	216, 09	55108	4820
40000	5	0,5	310494	keine	7,2	218, 01	37886	3375
40000	5	0,5	311494	keine	1,64	246, 18	49362	1013
40000	5	0,5	311494	keine	1,77	246, 20	48816	1079
40000	1	0,5	H2O	keine	-1	246, 21	41041	-1
40000	1	0,5	H2O	keine	-1	246, 24	46458	-1
40000	1	1	PCR	keine	0	246, 27	-1	-1

1      2      3      4      5      6      7      8      9

50

**Patentansprüche**

1. Verfahren zur Quantifizierung von Nukleinsäuren in einer Probe unter Anwendung von Nukleinsäure-Amplifizierung, wobei der Probe vor dem Amplifizierungsschritt eine gegebene Menge eines bekannten Nukleinsäuremoleküls als interner Standard zugegeben wird, welches Standard-Nukleinsäuremolekül sich von der zu quantifizierenden Nukleinsäure zumindest in einem detektierbaren Merkmal unterscheidet, dadurch gekennzeichnet, daß der Probe vor der Nukleinsäure-Amplifizierung bekannte Mengen von mindestens zwei sich zumindest in einem detektierbaren Merkmal voneinander und von der zu quantifizierenden Nukleinsäure unterscheidenden

bekannten Nukleinsäuremolekülen als interner Standard zugegeben werden, die erhaltenen Mengen an amplifizierter Proben- und Standard-Nukleinsäure bestimmt werden und aus den erhaltenen Mengen die ursprünglich in der Probe vorhandene Menge an zu quantifizierender Nukleinsäure bestimmt wird.

- 5      2. Verfahren nach Anspruch 1, dadurch gekennzeichnet, daß beim Amplifizieren Primer mit fluoreszierenden oder radioaktiven Gruppen oder chemischen Gruppen, die mit affinen Proteinen und nachgeschalteten Detektionsreaktionen detektiert werden können, vorzugsweise mit fluoreszierenden Gruppen, verwendet werden.
- 10     3. Verfahren nach einem der Ansprüche 1 bis 2, dadurch gekennzeichnet, daß die Amplifizierung der Nukleinsäuren bereits in der exponentiellen Phase gestoppt wird.
- 15     4. Verfahren nach einem der Ansprüche 1 bis 3, dadurch gekennzeichnet, daß die Bestimmung der Mengen an amplifizierter Nukleinsäure unter Verwendung eines Nukleinsäure-Detektionsgerätes, vorzugsweise eines fluoreszenz-empfindlichen Nukleinsäure-Detektionsgerätes, erfolgt.
- 20     5. Verfahren nach einem der Ansprüche 1 bis 4, dadurch gekennzeichnet, daß Nukleinsäuren von Mikroorganismen, vorzugsweise HIV, Parvovirus, Herpesvirus, HAV, HBV, HCV, Baculovirus, Adenovirus, Vacciniaivirus, Borrelia-species, Salmonellaspezies und Hefe, quantifiziert werden.
- 25     6. Verfahren nach Anspruch 5, dadurch gekennzeichnet, daß virale Nukleinsäuren in einer biologischen Probe, insbesondere Blut- und Blutzerivaten und biotechnologischen Produkten, quantifiziert werden.
- 30     7. Verfahren nach einem der Ansprüche 1 bis 6, dadurch gekennzeichnet, daß unterschiedliche Mengen der Standard-Nukleinsäuren der Probe vor der Amplifizierung zugegeben werden.
- 35     8. Verfahren nach einem der Ansprüche 1 bis 7, dadurch gekennzeichnet, daß Standard-Nukleinsäuren zum Einsatz kommen, welche eine gegenüber der zu quantifizierenden Nukleinsäure unterschiedliche Länge aufweisen, vorzugsweise eine Standard-Nukleinsäuresequenz, welche kürzer, und eine Standard-Nukleinsäuresequenz, welche länger ist als die zu quantifizierende Nukleinsäure.
- 40     9. Verfahren nach einem der Ansprüche 1 bis 8, dadurch gekennzeichnet, daß mehrere erhaltene Mengen an amplifizierter Proben- und Standard-Nukleinsäuren in der gleichen Probe mittels der Multiplex-Analyse bestimmt werden.
- 45     10. Verfahren nach einem der Ansprüche 1 bis 9, dadurch gekennzeichnet, daß die Standard-Nukleinsäuren der Probe zugegeben werden, noch bevor die Probe einem oder mehreren Probenaufbereitungsschritten unterzogen wird.
- 50     11. Verfahren zur Bestimmung der Nachweigrenze von bestimmten Nukleinsäuren unter Verwendung eines Verfahrens gemäß der Ansprüche 1 bis 10, dadurch gekennzeichnet, daß mindestens einer Standard-Nukleinsäure mit einer Konzentration von knapp oberhalb der Nachweigrenze eingesetzt wird.
- 55     12. Biologische, insbesondere biotechnologische Produkte, die einen Gehalt an Nukleinsäure unterhalb der Grenze von 10 bzw. 100 pg pro Dosis, ermittelt nach einem Verfahren gemäß einem der Ansprüche 1 bis 10, aufweisen und daher im wesentlichen frei von Nukleinsäuren sind.
- 60     13. Biologische, insbesondere biotechnologische Produkte, die einen Gehalt an Nukleinsäure unterhalb des Bereiches von 1 bis 100 Kopien der Nukleinsäure aufweisen.
- 65     14. Biologische, insbesondere biotechnologische Produkte nach Anspruch 12 oder 13, dadurch gekennzeichnet, daß sie ausgewählt sind aus viralen und bakteriellen Proteinen, insbesondere gp160, rekombinanten Blutfaktoren, Plasmaproteinen sowie Impfstoffen, insbesondere gegen Herpes-, Influenza-, TBE-, Parvo- oder Hepatitis-Viren, und monoklonalen Antikörpern.
- 70     15. Verwendung eines Verfahrens gemäß einem der Ansprüche 1 bis 10 zur Detektion von Nukleinsäuren in biologischen Proben.
- 75     16. Primer mit der Sequenz gemäß der Seq.ID 3, 4, 5, 6, 7, 8, 9, 10, 11 und 12.

17. Standard-Plasmide pgagI, pgag-15, pgag+12, pHAV-wt, pHAV-10bp, pHAV+9bp, pHCV-wt, pHCV-7bp, pHCV+8bp, pHBV-wt, pHBV-9bp, pHBV+12bp, pVV-21, pVV+24, pHerp-9 und pHerp+10.

18. Set zur Quantifizierung von Nukleinsäuren in einer Probe, welches umfaßt:

- 5 - mindestens zwei bekannte Nukleinsäuren als interne Standards, welche sich voneinander und von den zu quantifizierenden Nukleinsäuren in mindestens einem nachweisbaren Charakteristikum unterscheiden,
- Fluoreszenz-markierte Primer, die an die Standard-Nukleinsäure und an die zu quantifizierende Nukleinsäure binden,
- 10 - positive Kontrollen, welche bekannte Mengen einer Nukleinsäure, an der Interesse besteht, aufweisen,
- eine negative Kontrolle, welche Humanplasma, das frei von der viralen Nukleinsäure ist, an der Interesse besteht, aufweist, und
- eine Arbeitsanleitung.

15 19. Set nach Anspruch 18 zur Quantifizierung von HIV-RNA in einer Probe, welches umfaßt:

- mindestens zwei interne Standards, die eine in vitrotranskribierte RNA aufweisen, welche von den Plasmiden pgag-15 und pgag+12 stammt,
- die Fluoreszenz-markierten Primer SK38 und SK39
- 20 - eine positive Kontrolle, welche bekannte Mengen an HIV-1-Teilchen aufweist,
- eine negative Kontrolle, welche Humanplasma aufweist, das frei von Virus-Nukleinsäuren ist und
- eine Arbeitsanleitung.

20. Set nach Anspruch 18 zur Quantifizierung von HCV-RNA in einer Probe, welches aufweist:

- 25 - mindestens zwei interne Standards, die eine in vitrotranskribierte RNA aufweisen, welche von den Plasmiden pHCV-7 und pHCV+8 stammt,
- die Fluoreszenz-markierten Primer HCV32Ext und HCVPT4
- positive Kontrollen, welche bekannte Mengen an HCV-Teilchen aufweisen,
- 30 - eine negative Kontrolle, welche Humanplasma aufweist, das frei von Virus-Nukleinsäuren ist und
- eine Arbeitsanleitung.

21. Set nach Anspruch 18 zur Quantifizierung von HAV-RNA in einer Probe, welches aufweist:

- 35 - mindestens zwei interne Standards, die eine in vitrotranskribierte RNA aufweisen, welche von den Plasmiden pHAV-10 und pHAV+9 stammt,
- die Fluoreszenz-markierten Primer HAV+2058 und HAV-2172
- positive Kontrollen, welche bekannte Mengen an HAV-Teilchen aufweisen,
- 40 - eine negative Kontrolle, welche Humanplasma aufweist, das frei von Virus-Nukleinsäuren ist und
- eine Arbeitsanleitung.

22. Set nach Anspruch 18 zur Quantifizierung von HBV-DNA in einer Probe, welches aufweist:

- 45 - mindestens zwei interne Standards, die die Plasmide pHBV-9 und pHBV+12 aufweisen,
- die Fluoreszenz-markierten Primer HBV+1780B und HBV-1960B
- positive Kontrollen, welche bekannte Mengen an HBV-Teilchen aufweisen,
- eine negative Kontrolle, welche Humanplasma aufweist, das frei von Virus-Nukleinsäuren ist und
- eine Arbeitsanleitung.

50 23. Set nach Anspruch 18 zur Quantifizierung von HSV-DNA in einer Probe, welches aufweist:

- als interne Standards, die Plasmide pHerp-9 und pHerp+10,
- die Fluoreszenz-markierten Primer gDR/B und gDR2R/B
- positive Kontrollen, welche bekannte Mengen an HSV-Teilchen aufweisen,
- 55 - eine negative Kontrolle, welche Humanplasma aufweist, das frei von Virus-Nukleinsäuren ist und
- eine Arbeitsanleitung.

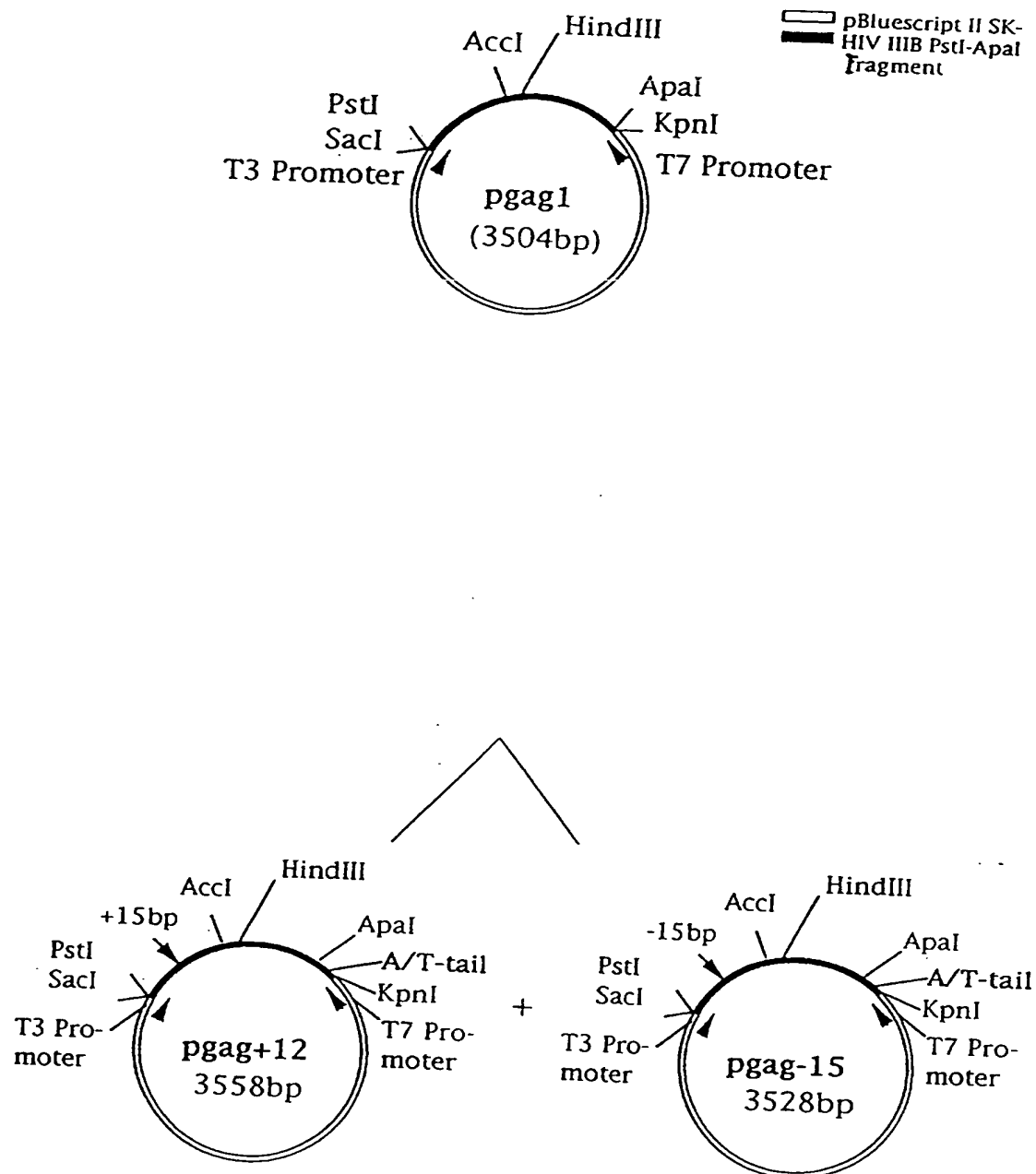


Fig. 1



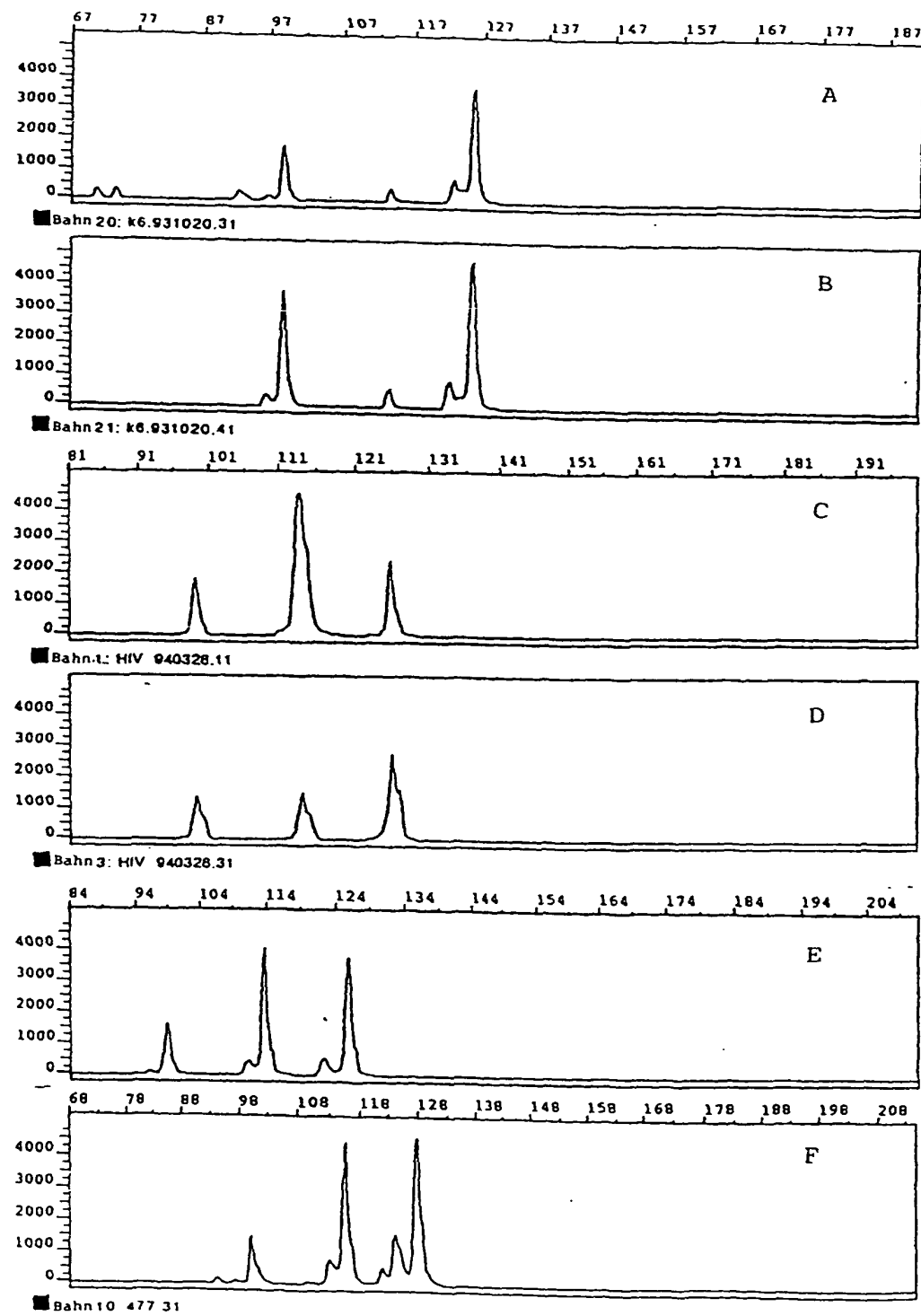


Fig.2



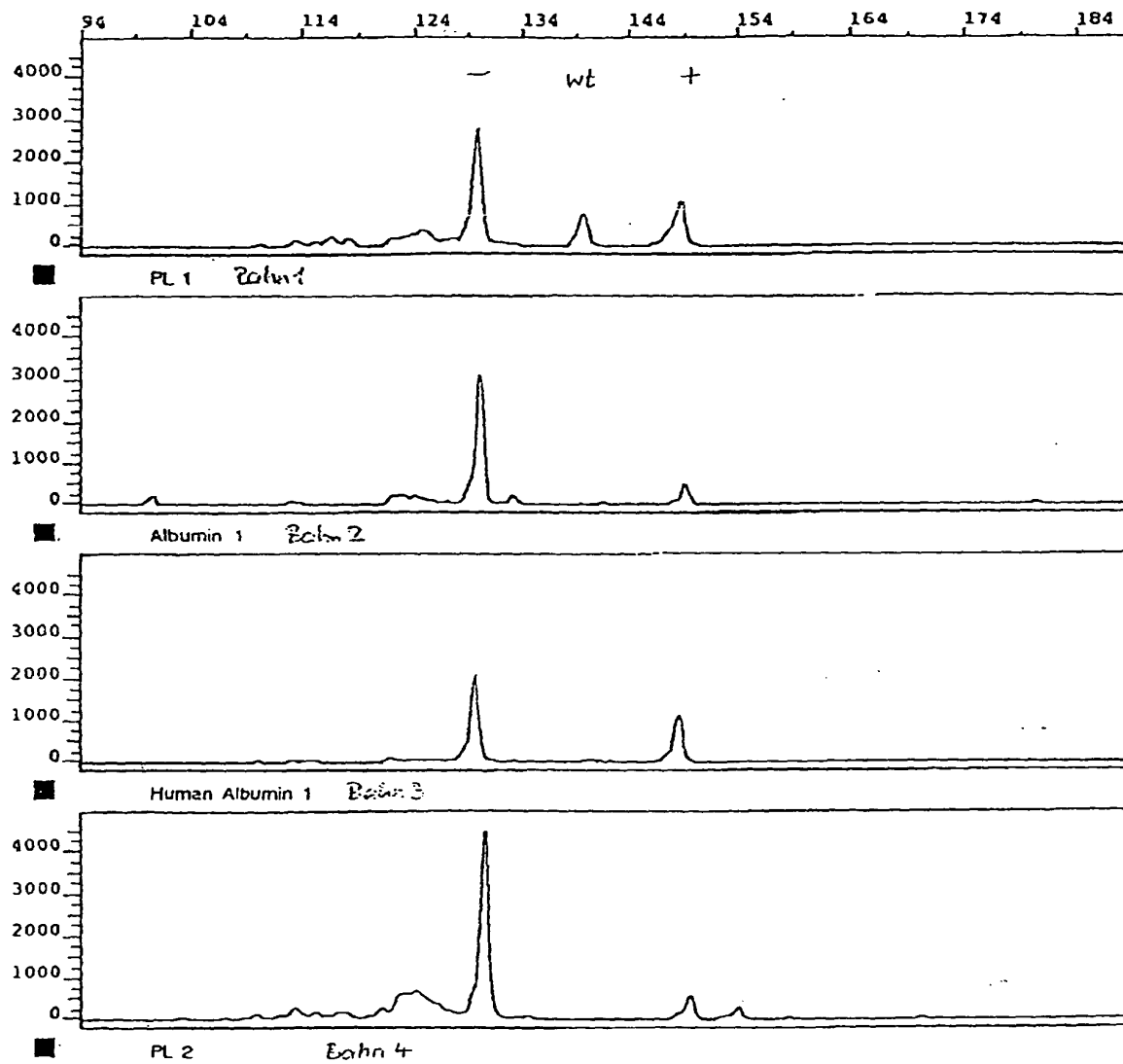


Fig.3-A



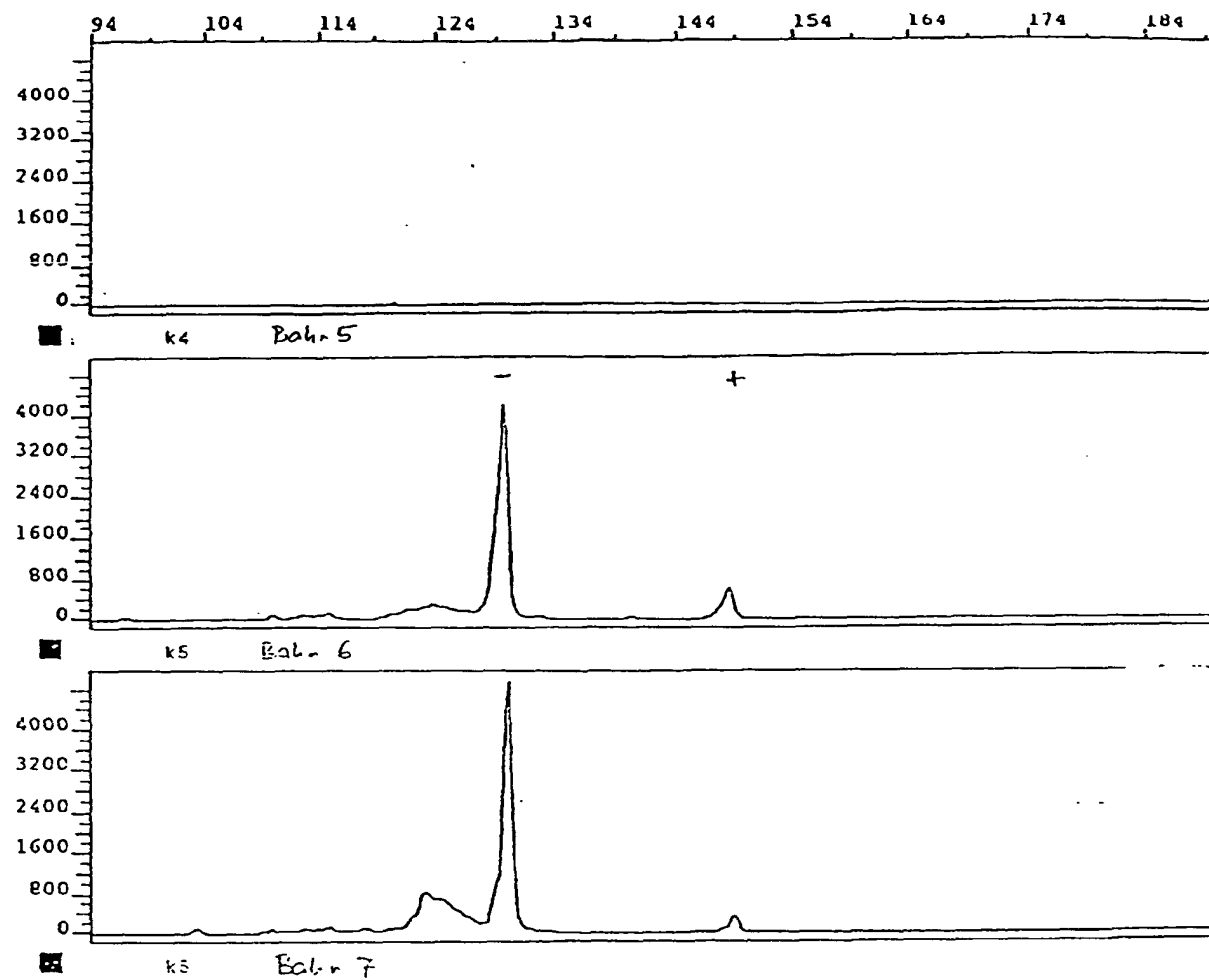


Fig. 3-B



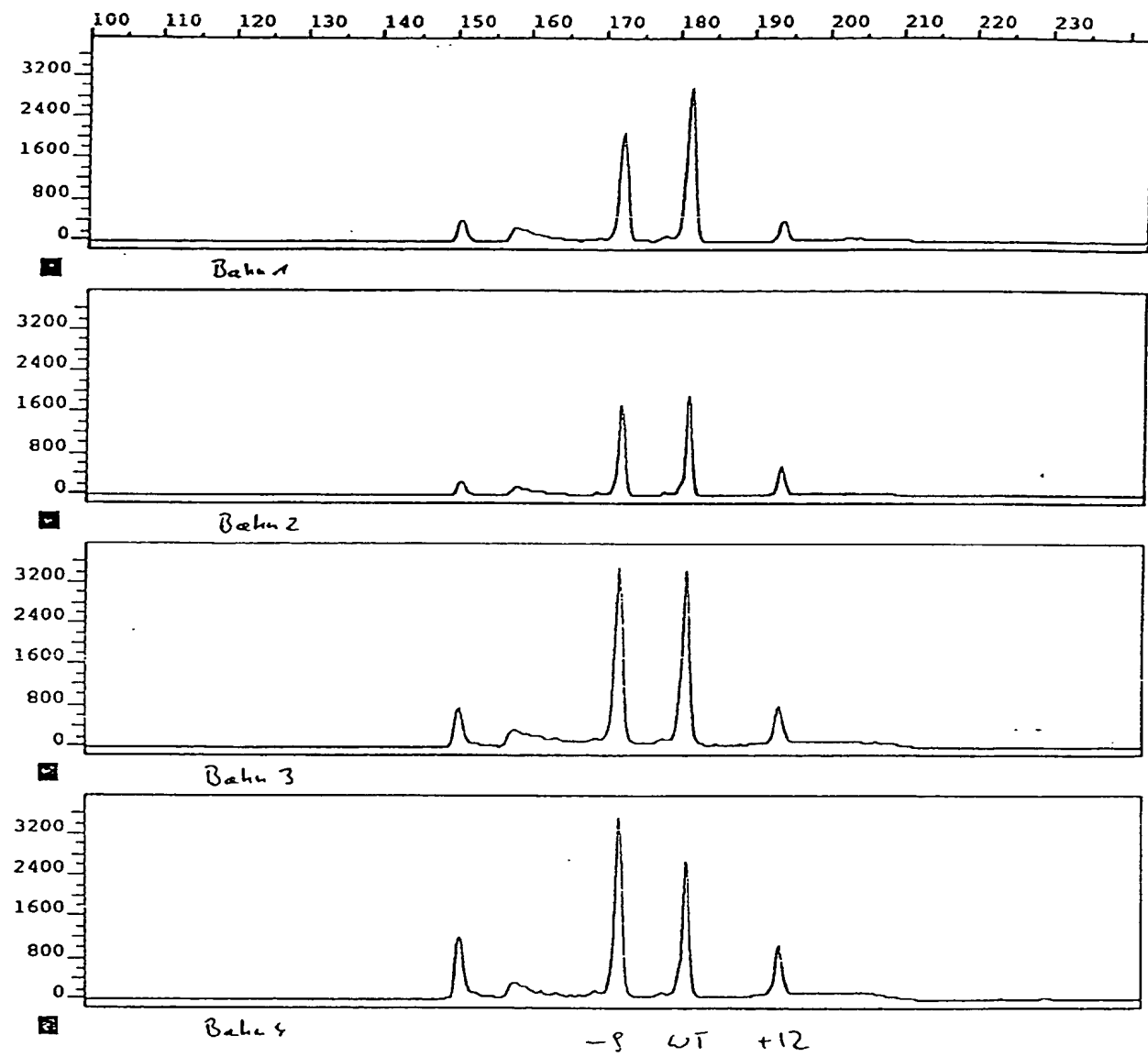


Fig. 4-A



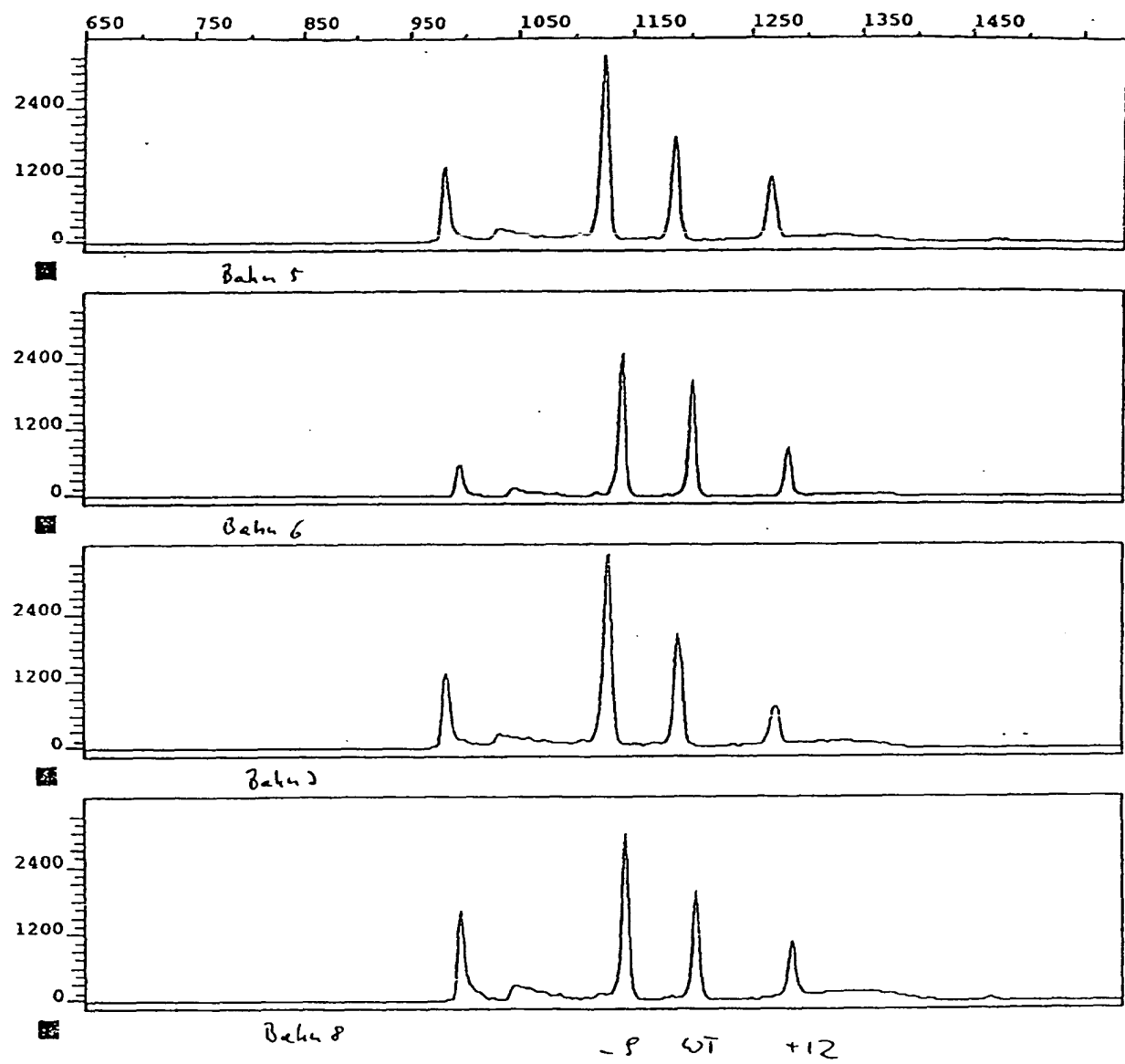


Fig. 4-B



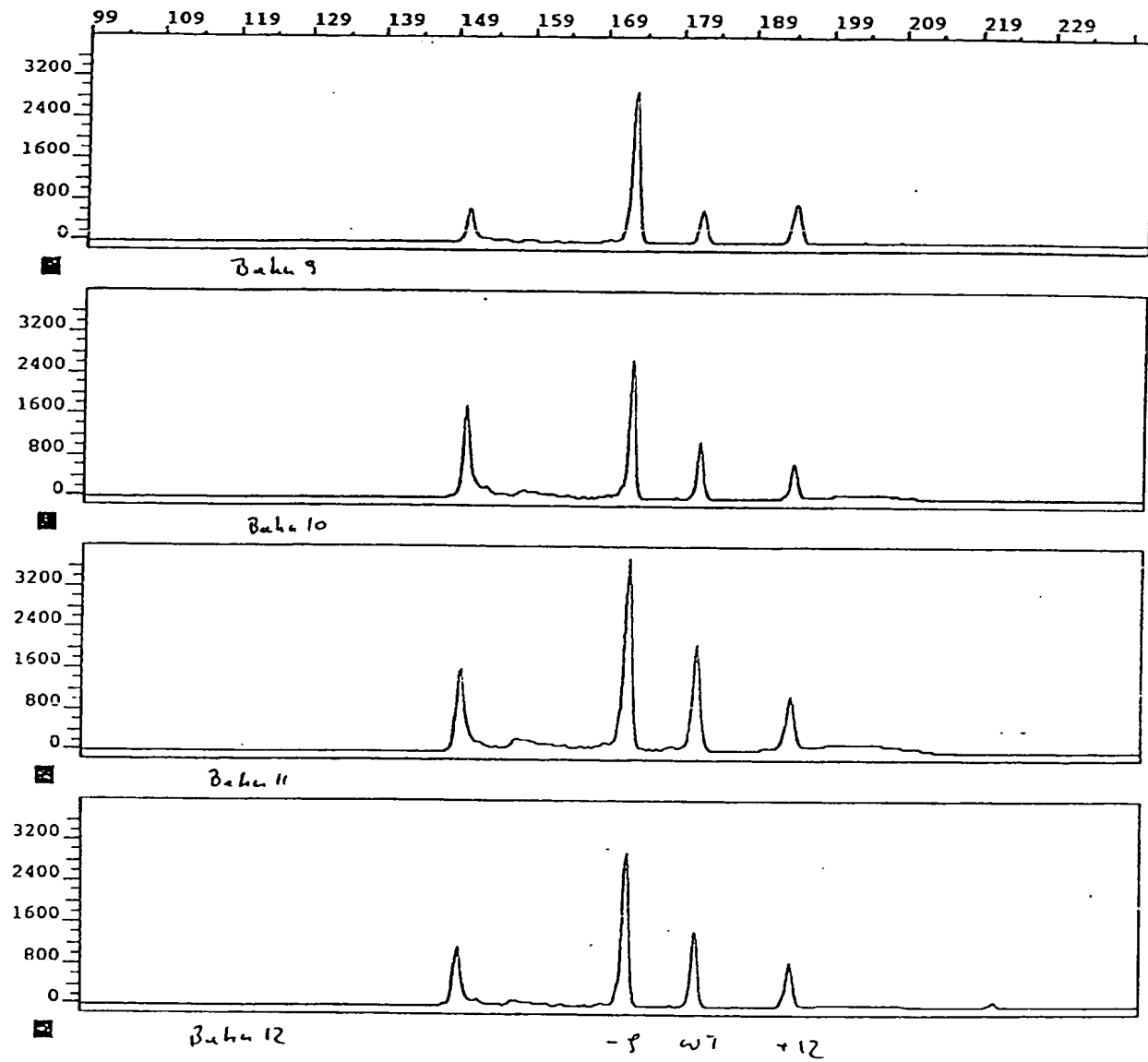


Fig. 4-C



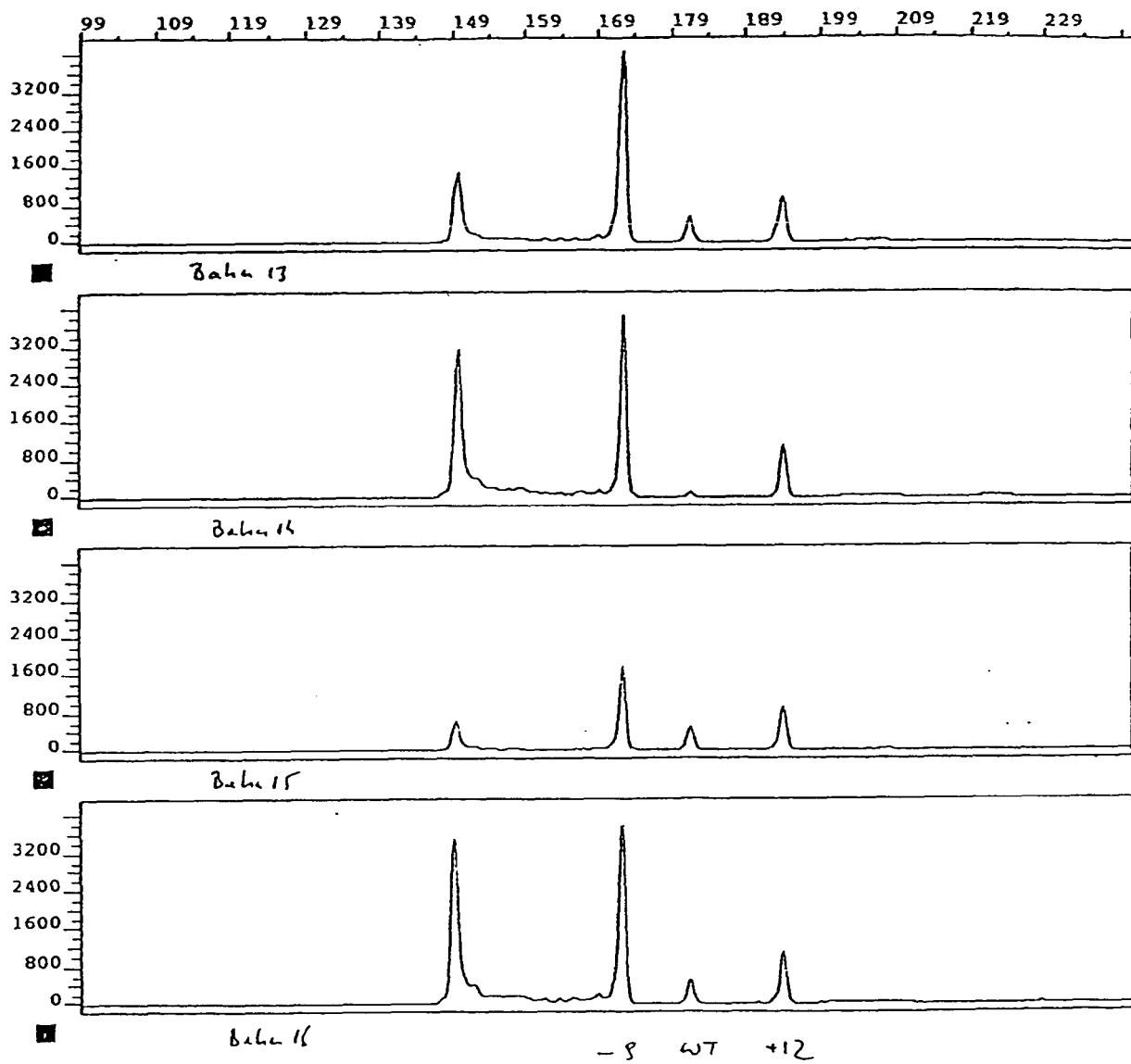


Fig. 4-D



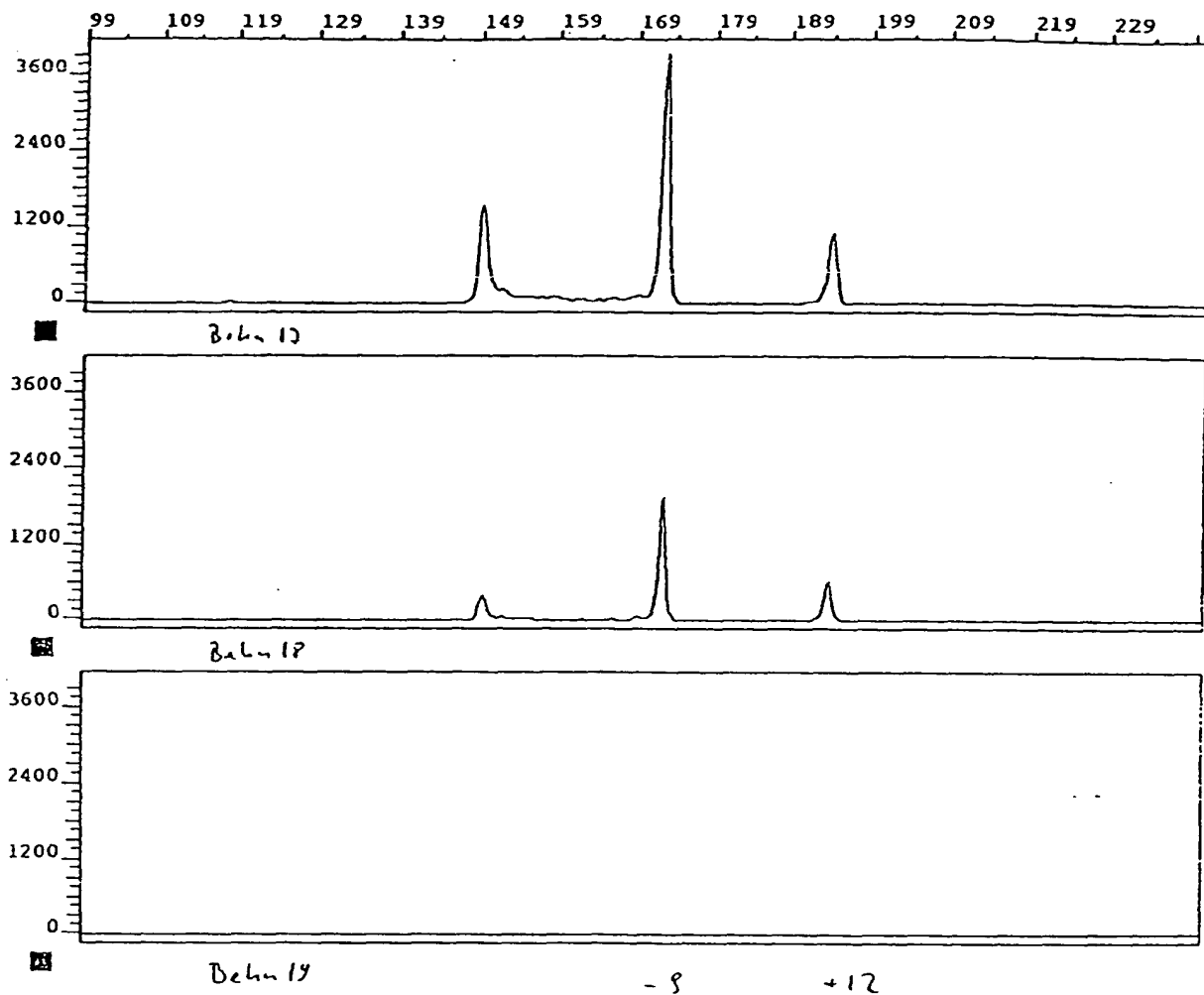


Fig. 4-E



SEQUENZPROTOKOLL

(1) ALLGEMEINE ANGABEN:

(i) ANMELDER:

- (A) NAME: Falko-Guenther Falkner
- (B) STRASSE: Neusiedlzeile 76A
- (C) ORT: Orth/Donau
- (D) BUNDESLAND: Austria
- (E) LAND: Austria
- (F) POSTLEITZAHL: 2304
  
- (A) NAME: Thomas Haemmerle
- (B) STRASSE: Hauptstrasse 46
- (C) ORT: Orth/Donau
- (D) BUNDESLAND: Austria
- (E) LAND: Austria
- (F) POSTLEITZAHL: 2304
  
- (A) NAME: Michele Himmelsbach
- (B) STRASSE: Laxenburgerstrasse 59/13
- (C) ORT: Wien
- (D) BUNDESLAND: Austria
- (E) LAND: Austria
- (F) POSTLEITZAHL: 1100
  
- (A) NAME: Johann Kohl
- (B) STRASSE: Schuhmeierplatz 3/8
- (C) ORT: Wien
- (D) BUNDESLAND: Austria
- (E) LAND: Austria
- (F) POSTLEITZAHL: 1160
  
- (A) NAME: Friedrich Dorner
- (B) STRASSE: Peterlinigasse 17
- (C) ORT: Wien
- (D) BUNDESLAND: Austria
- (E) LAND: Austria
- (F) POSTLEITZAHL: 1238

(ii) BEZEICHNUNG DER ERFINDUNG: Verfahren zur Quantifizierung von Nukleinsaeuren

(iii) ANZAHL DER SEQUENZEN: 12

(iv) COMPUTER-LESBARE FASSUNG:

- (A) DATENTRÄGER: Floppy disk
- (B) COMPUTER: IBM PC compatible
- (C) BETRIEBSSYSTEM: PC-DOS/MS-DOS
- (D) SOFTWARE: PatentIn Release #1.0, Version #1.30 (EPA)

(2) ANGABEN ZU SEQ ID NO: 1:

(i) SEQUENZKENNZEICHEN:

- (A) LÄNGE: 28 Basenpaare
- (B) ART: Nucleotid
- (C) STRANGFORM: Einzelstrang
- (D) TOPOLOGIE: linear

(ii) ART DES MOLEKÜLS: Genom-DNA

(xi) SEQUENZBESCHREIBUNG: SEQ ID NO: 1:

ATAATCCACC TATCCCAGTA GGAGAAAT

Fig. 5-A



(2) ANGABEN ZU SEQ ID NO: 2:

(i) SEQUENZKENNZEICHEN:  
(A) LÄNGE: 28 Basenpaare  
(B) ART: Nucleotid  
(C) STRANGFORM: Einzelstrang  
(D) TOPOLOGIE: linear

(ii) ART DES MOLEKÜLS: Genom-DNA

(xi) SEQUENZBESCHREIBUNG: SEQ ID NO: 2:

TTTGGTCCTT GTCTTATGTC CAGAATGC

28

(2) ANGABEN ZU SEQ ID NO: 3:

(i) SEQUENZKENNZEICHEN:  
(A) LÄNGE: 24 Basenpaare  
(B) ART: Nucleotid  
(C) STRANGFORM: Einzelstrang  
(D) TOPOLOGIE: linear

(ii) ART DES MOLEKÜLS: Genom-DNA

(xi) SEQUENZBESCHREIBUNG: SEQ ID NO: 3:

ACTGCCATTG GGAAGCTTAT TGTG

24

(2) ANGABEN ZU SEQ ID NO: 4:

(i) SEQUENZKENNZEICHEN:  
(A) LÄNGE: 25 Basenpaare  
(B) ART: Nucleotid  
(C) STRANGFORM: Einzelstrang  
(D) TOPOLOGIE: linear

(ii) ART DES MOLEKÜLS: Genom-DNA

(xi) SEQUENZBESCHREIBUNG: SEQ ID NO: 4:

CATCCATAGC ATGATAAAGA GGAGC

25

(2) ANGABEN ZU SEQ ID NO: 5:

(i) SEQUENZKENNZEICHEN:  
(A) LÄNGE: 26 Basenpaare  
(B) ART: Nucleotid  
(C) STRANGFORM: Einzelstrang  
(D) TOPOLOGIE: linear

(ii) ART DES MOLEKÜLS: Genom-DNA

(xi) SEQUENZBESCHREIBUNG: SEQ ID NO: 5:

CTGTGAGGAA CTACTGTCTT ACGCAG

26

Fig. 5-B



(2) ANGABEN ZU SEQ ID NO: 6:

(i) SEQUENZKENNZEICHEN:  
(A) LÄNGE: 20 Basenpaare  
(B) ART: Nucleotid  
(C) STRANGFORM: Einzelstrang  
(D) TOPOLOGIE: linear

(ii) ART DES MOLEKÜLS: Genom-DNA

(xi) SEQUENZBESCHREIBUNG: SEQ ID NO: 6:

CGGTTCCGCA GACCACTATG

20

(2) ANGABEN ZU SEQ ID NO: 7:

(i) SEQUENZKENNZEICHEN:  
(A) LÄNGE: 27 Basenpaare  
(B) ART: Nucleotid  
(C) STRANGFORM: Einzelstrang  
(D) TOPOLOGIE: linear

(ii) ART DES MOLEKÜLS: Genom-DNA

(xi) SEQUENZBESCHREIBUNG: SEQ ID NO: 7:

CATTGATCCT TATAAAGAAT TTGGAGC

27

(2) ANGABEN ZU SEQ ID NO: 8:

(i) SEQUENZKENNZEICHEN:  
(A) LÄNGE: 24 Basenpaare  
(B) ART: Nucleotid  
(C) STRANGFORM: Einzelstrang  
(D) TOPOLOGIE: linear

(ii) ART DES MOLEKÜLS: Genom-DNA

(xi) SEQUENZBESCHREIBUNG: SEQ ID NO: 8:

CCAGCAGAGA ATTGCTTGCC TGAG

24

(2) ANGABEN ZU SEQ ID NO: 9:

(i) SEQUENZKENNZEICHEN:  
(A) LÄNGE: 19 Basenpaare  
(B) ART: Nucleotid  
(C) STRANGFORM: Einzelstrang  
(D) TOPOLOGIE: linear

(ii) ART DES MOLEKÜLS: Genom-DNA

(xi) SEQUENZBESCHREIBUNG: SEQ ID NO: 9:

AAAATAGGAT CATGATGGC

19

Fig.5-C



(2) ANGABEN ZU SEQ ID NO: 10:

(i) SEQUENZKENNZEICHEN:  
(A) LÄNGE: 20 Basenpaare  
(B) ART: Nucleotid  
(C) STRANGFORM: Einzelstrang  
(D) TOPOLOGIE: linear

(ii) ART DES MOLEKÜLS: Genom-DNA

(xi) SEQUENZBESCHREIBUNG: SEQ ID NO: 10:

ATATTAGATG GTGCCACCGT

20

(2) ANGABEN ZU SEQ ID NO: 11:

(i) SEQUENZKENNZEICHEN:  
(A) LÄNGE: 18 Basenpaare  
(B) ART: Nucleotid  
(C) STRANGFORM: Einzelstrang  
(D) TOPOLOGIE: linear

(ii) ART DES MOLEKÜLS: Genom-DNA

(xi) SEQUENZBESCHREIBUNG: SEQ ID NO: 11:

AACTACCCCG ATCATCAG

18

(2) ANGABEN ZU SEQ ID NO: 12:

(i) SEQUENZKENNZEICHEN:  
(A) LÄNGE: 18 Basenpaare  
(B) ART: Nucleotid  
(C) STRANGFORM: Einzelstrang  
(D) TOPOLOGIE: linear

(ii) ART DES MOLEKÜLS: Genom-DNA

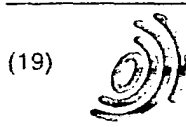
(xi) SEQUENZBESCHREIBUNG: SEQ ID NO: 12:

AGGCCCACTA TGACGACA

18

Fig. 5-D





(19)

Europäisches Patentamt  
European Patent Office  
Office européen des brevets



(11)

EP 0 714 988 A3

(12)

## EUROPÄISCHE PATENTANMELDUNG

(84) Veröffentlichungstag A3:  
16.04.1997 Patentblatt 1997/16

(51) Int CL<sup>6</sup>: C12Q 1/68, C07H 21/04,  
C12P 19/34, C12N 15/85,  
C07K 14/00, C12Q 1/70

(43) Veröffentlichungstag A2:  
05.06.1996 Patentblatt 1996/23

(21) Anmeldenummer: 95890172.0

(22) Anmeldetag: 25.09.1995

(84) Benannte Vertragsstaaten:  
AT BE CH DE DK ES FR GB IE IT LI NL SE

- Himmelsbach, Michele, Dr.  
A-1100 Wien (AT)
- Kohl, Johann, Dr.  
A-1160 Wien (AT)
- Dorner, Friedrich, Prof. Dr.  
A-1230 Wien (AT)

(30) Priorität: 26.09.1994 AT 1831/94  
02.12.1994 AT 2245/94

(74) Vertreter: Weinzinger, Arnulf, Dipl.-Ing. et al  
Patentanwälte  
Sonn, Pawloy, Weinzinger & Wolfram  
Riemergasse 14  
1010 Wien (AT)

(71) Anmelder: IMMUNO Aktiengesellschaft  
A-1221 Wien (AT)

(72) Erfinder:

- Falkner, Falko-Günter, Dr.  
A-2304 Orth/Donau (AT)
- Häammerle, Thomas, Dr.  
A-2304 Orth/Donau (AT)

### (54) Verfahren zur Quantifizierung von Nukleinsäuren

(57) Beschrieben wird ein Verfahren zur Quantifizierung von Nukleinsäuren in einer Probe unter Anwendung von Nukleinsäure-Amplifizierung, wobei der Probe vor dem Amplifizierungsschritt eine gegebene Menge eines bekannten Nukleinsäuremoleküls als interner Standard zugegeben wird, welches Standard-Nukleinsäuremolekül sich von der zu quantifizierenden Nukleinsäure zumindest in einem detektierbaren Merkmal unterscheidet; zur Erzielung einer hohen Genauigkeit und guten Reproduzierbarkeit wird vorgesehen, daß der Probe vor der Nukleinsäure-Amplifizierung bekannte Mengen von mindestens zwei sich zumindest in einem detektierbaren Merkmal voneinander und von der zu quantifizierenden Nukleinsäure unterscheidenden bekannten Nukleinsäuremolekülen als interner Standard zugegeben werden, die erhaltenen Mengen an amplifizierter Proben- und Standard-Nukleinsäure bestimmt werden und aus den erhaltenen Mengen die ursprünglich in der Probe vorhandene Menge an zu quantifizierender Nukleinsäure bestimmt wird.

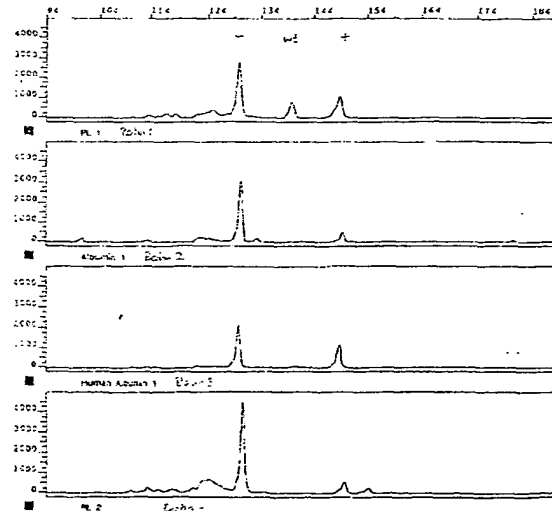


Fig. 3-A





EINSCHLÄGIGE DOKUMENTE					
Kategorie	Kenntzeichnung des Dokuments mit Angabe, soweit erforderlich, der maßgeblichen Teile	Betrieft Anspruch	KLASSIFIKATION DER ANMELDUNG (Int.CI6)		
X	JOURNAL OF VIROLOGICAL METHODS, Bd. 49, September 1994, Seiten 157-168, XP000600186 VAN GEMEN B ET AL: "A one tube quantitative HIV-1 RNA NASBA nucleic acid amplification assay using electrochemiluminescent (ECL) labelled probes" * das ganze Dokument *	1,5,7,9	C12Q1/68 C07H21/04 C12P19/34 C12N15/85 C07K14/00 C12Q1/70		
P,X	WO-A-95 02067 (AKZO NOBEL N.V.) * das ganze Dokument *	---	1,5,7,9		
A	WO-A-94 10342 (THE ROSGIN INSTITUTE) * Seite 4 - Seite 13 *	---	1-23		
A	WO-A-93 23573 (NEW ENGLAND DEACONESS HOSPITAL) * Seite 11, Zeile 28 - Seite 12, Zeile 2 *	---	1,2,4, 18-23		
X	EP-A-0 521 318 (LUCKY LTD.) *see page 45, In 52, primer A having the same sequence as Seq. ID 6.	---	16		
A	BIOTECHNIQUES, Bd. 14, Nr. 1, Januar 1993, Seiten 70-81, XP002022931 PIATAK M ET AL: "Quantitative competitive polymerase chain reaction for accurate determination of HIV DNA and RNA species" * das ganze Dokument *	---	RECHERCHIERTE SACHGEBIETE (Int.CI6) C12Q		
Der vorliegende Recherchenbericht wurde für alle Patentansprüche erstellt					
Recherchenwort	Abschlußdatum der Recherche	Prüfer			
DEN HAAG	28.Januar 1997	Osborne, H			
KATEGORIE DER GENANNTEN DOKUMENTE					
X : von besonderer Bedeutung allein betrachtet	T : der Erfindung zugrunde liegende Theorien oder Grundsätze				
V : von besonderer Bedeutung in Verbindung mit einer anderen Veröffentlichung derselben Kategorie	E : älteres Patentdokument, das jedoch erst am oder nach dem Anmeldedatum veröffentlicht worden ist				
A : technologischer Hintergrund	D : in der Anmeldung angeführtes Dokument				
O : rechtschriftliche Offenbarung	L : aus anderem Gründen angeführtes Dokument				
P : Zwischenliteratur	& : Mitglied der gleichen Patentfamilie, übereinstimmendes Dokument				

